

Black Sea Technical University, Department of Geodesy

Monograph No 1

TOPOGRAPHIC - ISOSTATIC DEFLECTION OF VERTICAL

(Definition and Related Integral Formulas)

Dr Onur GÜRKAN

Trabzon(Turkey) 1977

KTÜ, Jeodezi ve Fotogrametri Bölümü

Monograf No 1

TOPOĞRAFİK - İZOSTATİK ÇEKÜL SAPMASI

(Kavram ve İlgili İntegral Formülleri)

Dr. Onur GÜRKAN

Trabzon 1977

Ö N S Ö Z

Türkiye I. derece triyangülasyon ağı 7. poligonunda yapılmakta olan araştırmanın en yüklü kesimini çok sayıda kişinin sabırlı ve titiz emeğini gerektiren topoğrafik-izostatik çekül sapmalarının hesabı oluşturmaktadır. Eğer ortalama yükseklik ve derinlik tahminlerinin yanı sıra kendisi de bir araştırma biçiminde ele alınırsa, bir noktadaki işin miktarı bir öğrencinin bölümdeki eğitimi sırasında yaptığı bitirme ödevindeki aşmaktadır.

Konuda bitirme ödevi yapmaya istekli öğrencilere Türkçe'de kuramsal bir yol gösterici olarak hazırlanan bu ilk çoğaltmada ilgili temel kavramlar özetlenmiş ve fiziksel jeodezi derslerinde zaman darlığı nedeniyle inilemeyen gerekli ayrıntılar verilmiştir. İçerik saptanırken ve ayrıntıların açıklanmasında derinliğe inilirken öğrencinin yapacağı çalışmada kuramsal ufkunu genişletmesine, bilimde bilinçli düşünme yeteneğini geliştirmesine, v.b. yardımcı olmak gibi eğitsel bir amaç güdülmüştür.

Uygulama sonuçları ortaya çıktıkça eldeki bu karalamanın içeriğinin ve açıklamalardaki derinliğin gelişeceği ve eğitsel amaçtan beklenenlerin gerçekleşme oranının başka konularda daha iyi yol göstericiler hazırlamakta kullanılabileceği umulmaktadır.

KTÜ/Trabzon

Onur GÜRKAN

Mayıs/1977

P R E F A C E

The most laborious part of the investigation being carried out on 7th loop of Turkish 1st order triangulation net is the calculation of topographic-isostatic deflections of vertical which requires a great number of personnel working patiently and carefully. If it is treated as an independent^{ent/} research besides the estimation of mean heights and depths, the amount of the work for one point exceeds that of a final homework done independently by a student during his study in the department.

This treatise is made ready as a theoretical guide in Turkish for students who are willing to study on the subject for their final homework. It summarizes the relevant fundamental definitions and gives necessary details which could not be discussed in physical geodesy classes because of time limitation. Contents are fixed and expositions of details are extended according to an educational aim such as to help student to broaden his theoretical scope in doing his homework, to improve his mind in thinking consciously in science, etc.

As the results of applications come out it is hoped that the contents and the extension of expositions of the scriptum at hand will develop, and that the comparisons of realized items set up for educational aim may be used in preparing better guides on other subjects.

Black Sea Technical University
Trabzon/Turkey

Onur GÜNEŞAN

May/1977

İ Ç İ N D E K İ L E R

	Sayfa
Önsöz,İçindekiler	3,5
1- Giriş:	7
Yeryuvarının iç yapısı-jeopotansiyel yüzey(jeop)- sferopotansiyel yüzey(sferop)-jeoid-referans elip- soid	-7
2- <u>Çekül Sapması ve Türleri:</u>	15
Çekül sapması kavramı-mutlak ve relatif çekül sap- ması-astrojeodezik çekül sapması-gravimetrik çekül sapması-topoğrafik izostatik çekül sapması	
3- <u>Topoğrafik Çekül Sapması:</u>	22
Kavram-genel integral formülleri	
4- <u>İzostatik Çekül Sapması:</u>	28
İzostasi kuramı-Pratt Hayford sistemi-Airy Heiska- nen sistemi-bölgesel Vening Meinesz sistemi-izos- tatik çekül sapması kavramı-integral formülleri	
5- <u>Topoğrafik-İzostatik Çekül Sapması:</u>	41
Kavram-integral formülleri-küresel yaklaşım-düzlem yaklaşım	
6- <u>İntegral Formüllerinin Pratik Açınimleri:</u>	47
İskara yöntemi-kalıp yöntemi	
Kaynaklar	59

C O N T E N T S

	Page
Preface, contents	4,6
1- Introduction	7
Internal constitution of the earth-geopotential surface(geop)-spheropotential surface(spherop)-geoid-reference ellipsoid	
2- Deflection of Vertical	15
Definition-absolute and relative, astrogeodetic, gravimetric, topographic-isostatic deflections of vertical	
3- Topographic Deflection of Vertical	22
Definition and integral formulas	
4- Isostatic Deflection of Vertical	28
Theory of isostasy-Pratt Hayford system-Airy Heiskanen system-regional Vening Meinesz system-definition-integral formulas	
5- Topographic-Isostatic Deflection of Vertical . .	41
Definition-integral formulas-spherical and flat earth approximations	
6- Practical Evaluation of the Integral Formulas. .	47
Grid lines-templates	
References	59

1 - Giriş :

Deniz seviyesinin üzerindeki engeller trag edilirse, yeryuvarının şekli ilk bakışta bir kreyi andırır. Ancak kuramsal bir incelemenin ilk verileriyle bile bu şeklin dönnel elipsoide yakın olduğu söylenebilir. Oysa, gerçekçi ve ayrıntılı incelemeler ve ölçülere dayanan araştırmalar bunun jeoid adı verilen kendine özgü özel bir şekil olduğunu ortaya koyar.

Mekanik, dinamik ve potansiyel kuramı ilkeleriyle tanımlanan jeoid ise kaynağı yeryuvarının kitleleri ve yeryuvarının kendi eksenini etrafında dönme hareketi olan gerçek gravite alanının eşpotansiyelli yüzeylerinden özel bir tanesidir. Denizleri oluşturan kitleler (su) akışkan olduğundan, bunların sınırı (durgun deniz yüzü) diğer gök cisimlerinin kitlelerinin çekimi ve yeryuvarının uzaydaki diğer hareketlerinin etkisi nedeniyle düzeltildikten sonra jeoidin doğa içinde elle tutulur, gözle görünür kesimini oluşturur.

Bilindiği üzere herhangi bir birim kitleye etki eden diğer tüm kitlelerin uygulayacağı çekim kuvveti ve onun potansiyeli, kitle yoğunluklarının bir fonksiyonudur. Dolu bir cisim olduğu varsayılan yeryuvarının gerçek gravite alanına ilişkin potansiyel fonksiyonu

$$V(X, Y, Z) = k \iiint_V \frac{\rho}{r} dv \quad (1.1)$$

biçimindedir. Bu eşitlikteki

k : Newton çekim sabiti,

v : Yeryuvarını oluşturan tüm kitlelerin hacmi,

$dv = dX' \cdot dY' \cdot dZ'$: Koordinatları X', Y', Z' olan hacim elemanı,

$\rho = \rho(X', Y', Z')$: Koordinatları X', Y', Z' olan hacim elemanında kitle yoğunluğu,

$\rho^2 = (X-X')^2 + (Y-Y')^2 + (Z-Z')^2$: Koordinatları X, Y, Z olan birim kitle ile koordinatları X', Y', Z' olan hacim elemanı arasındaki doğrusal uzaklık

olarak belirlidir. Hemen görülebileceği gibi yoğunluk, konuma bağlı kesiksiz bir fonksiyon olarak tanımlanabilirse V çekim potansiyeli de konuma bağlı kesiksiz bir fonksiyon olarak tanımlanabilir.

Yukarıda geçen koordinat sisteminin başlangıcı yeryuvarının ağırlık merkezi ve Z eksenini de yeryuvarının dönme eksenini olarak seçilirse, yeryuvarının kendi eksenini etrafında dönmesi sonucu oluşacak merkezkaç kuvvetin potansiyeli Φ , koordinatları X, Y, Z olan birim kitlenin bulunduğu yerde

$$\Phi = \Phi(X, Y, Z) = \frac{1}{2} \omega^2 (X^2 + Y^2) \quad (1.2)$$

eşitliği ile belirlidir. Burada ω , yeryuvarının kendi eksenini etrafında dönüşünün açısal hızıdır.

Böylece gerçek gravite alanının potansiyel fonksiyonu W

$$W = W(X, Y, Z) = V(X, Y, Z) + \Phi(X, Y, Z) \quad (1.3)$$

ile belirli olur. Yoğunluk dağılımı fonksiyonu

$$\rho = \rho(X, Y, Z) \quad (1.4)$$

kesiksiz bir fonksiyon olarak varsayılırsa uzayda her nokta için skalar bir büyüklük olan W bulunur. Uzayda W potansiyel sayıları eşit olan noktaların geometrik yeri

$$W = W(X, Y, Z) = \text{sabit} \quad (1.5)$$

denklemlerle belirli, kapalı olduğu varsayılan bir yüzeydir. Gerçek gravite alanının sonsuz sayıdaki bu eşpotansiyelli yüzeylerinden herbirine JEOPOTANSİYEL YÜZEY ya da kısaca

JEOP denir. Bunlardan her hangi birisinin her hangi bir noktasındaki \vec{g} gerçek gravite vektörü

$$\vec{g} = \text{grad } W = \left(\frac{\partial W}{\partial X}, \frac{\partial W}{\partial Y}, \frac{\partial W}{\partial Z} \right) \quad (1.6)$$

olarak bulunur. Yeryuvarını oluşturan kitlelerin dışında ve yeryüzüne yakın yerlerde bu vektörün doğrultusu ve yönü yüzeyin iç normali ile özdeşdir.

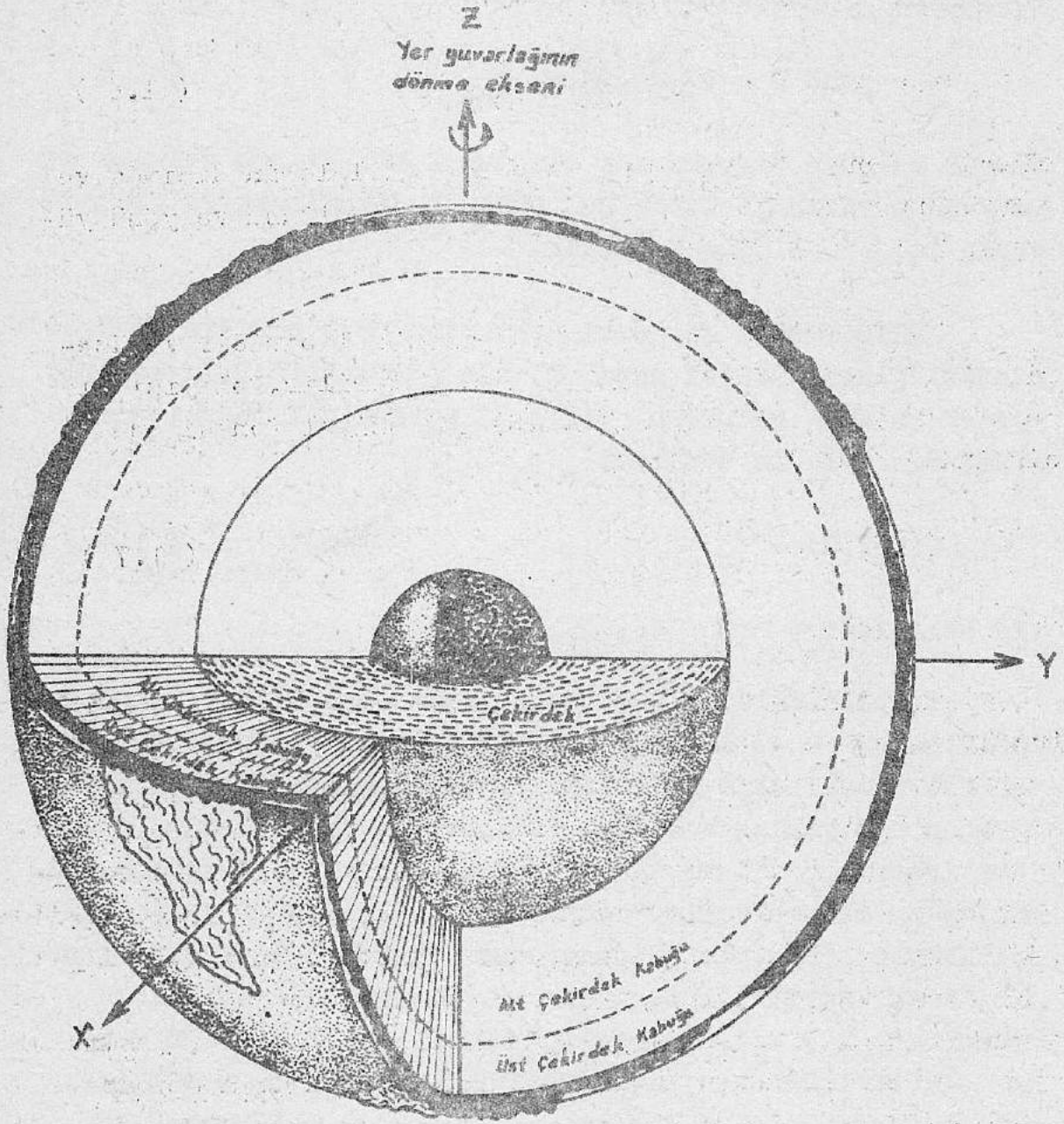
JEOD, sonsuz sayıdaki jeoplardan özel biridir ve üzerindeki jeopotansiyel sayı W_0 ile gösterilir. Dolayısı ile gerçek gravite alanının $W(X, Y, Z)$ potansiyel fonksiyonu cinsinden jeoidin denklemi

$$W(X, Y, Z) = W_0 \quad (1.7)$$

ile belirlidir.

Yerbilimlerinin çeşitli dallarında yapılan kuramsal incelemeler ve gözlemlere dayanan araştırmalar yeryüzünden derinlere inildikçe yoğunluğun arttığını göstermektedir. Buradan bir yaklaşım olarak "Yeryuvarı, esyoğunluklu kitleleri içeren katmanlara küre yüzüne yakın biçimli iç içe katmanlardan oluşmaktadır." denebilir. Bu katmanlar çeşitli özellikleri bir arada bulunduracak biçimde kabaca sınıflandırılırsa Şekil 1.1 deki görünüm ortaya çıkar. En dışta yoğunluğu $2,5 - 2,8 \text{ gr/cm}^3$, kalınlığı yaklaşık $30 - 60 \text{ km}$ dolaylarında olan katı YERKABUĞU vardır. Bunun altında, yoğunluğu $3,3 - 5,6 \text{ gr/cm}^3$ ve kalınlığı yaklaşık 2900 km olan genellikle sıvı kitlelerden oluşan ÇEKİRDEK KABUĞU yer alır. En içte ise, yarıçapı 3400 km dolaylarında yaklaşık bir küre biçiminde ve dış tarafları sıvı, merkezi ve merkeze yakın yerleri katı olduğu sanılan, yoğunluğu $9,7 - 12,0 \text{ gr/cm}^3$ olan ÇEKİRDEK bulunur. Bu görünüm daha incelikte ele alındığında, aynı yoğunluklu nokta kitlelerin geometrik yeri, yukarıda anılan koordinat sistemine göre,

$$\rho = \rho(X, Y, Z) = \text{sabit} \quad (1.8)$$



Şekil 1.1

Yeryuvarının iç yapısı

biçimindeki bir yüzey denklemi ile belirlidir. Sonsuz sayıdaki bu eş yoğunluk yüzeyleri yine bir ilk yaklaşım olarak

$$\rho_r = \rho(r) = \text{sabit} \quad (1.9)$$

biçiminde küre denklemleri olarak düşünülebilir. Burada r, merkezleri yeryuvarının ağırlık merkezinde olan kürelerin yarıçapları; ρ_r , r yarıçaplı kürenin yüzeyini oluşturan dm nokta kitlelerin sabit olan yoğunluğudur. Çeşitli araştırmacılara göre r yarıçapı ile ρ_r yoğunluğu arasındaki sayısal ilişki Çizelge 1.1 de özet olarak görülmektedir. Bu araştırmalardan birisine ait daha ayrıntılı bilgileri içeren Çizelge 1.2 hem yüzeyin yoğunluğu hem de böylesi bir yoğunluk dağılımına göre bu yüzey üzerinde olması gereken çekim kuvveti (gravite eksi merkezkaç kuvvet) ve basıncı vermektedir.

Merkezkaç kuvvetin Z ekseninden bağımsız olduğu gerçeği, eşyoğunluk yüzeyleri birer küre olsa bile eşpotansiyelli yüzeylerin küreden farklı birer dönel yüzey biçiminde olması gerektiğini vurgular. Ayrıca, yeryuvarının kendi eksenini etrafında dönmesi ve yeryuvarı kitlelerinin büyük bir kesiminin sıvı olması nedeniyle, eşyoğunluk yüzeylerinin de küreden farklı eksene göre simetrik dönel birer yüzey olabileceği savı kolaylıkla yadsınmaz. Yoğunluk dağılımıyla ilgili bu varsayımlardan hareketle yeryuvarının gerçek gravite alanına bir yaklaşım olmak üzere düşünsel bir standart gravite alanı ortaya konur. Bu düşünsel alanda her jeopa karşılık bir eşpotansiyelli yüzey vardır ve buna SFEROPOTANSİYEL YÜZEY ya da kısaca SFEROP denir. Birbirinin karşılığı olan bir jeop ile bir sferop farklı geometrik şekiller olmasına karşılık üzerlerindeki jeopotansiyel sayı aynıdır. Özel bir sferop olan ORTALAMA YER ELİPSOİD'i ya da REFERANS ELİPSOİD'i jeoid özel adıyla bilinen jeopun karşılığıdır.

Standart gravite alanının potansiyel fonksiyonu da

$$U = U(X, Y, Z) \quad (1.10)$$

ile belirlidir. Geometrik şekli dönel yüzey olan bir sfe-

Derinlik (km) d	Yarıçap (km) r	Yoğunluk $\rho_r = \rho(r)$ gr/cm ³					
		Bullard		Landisman et al		Bullen	
		1957a	1957b	1964a	1964c	1953a	1953b
Yerkabuğu							
0	6370	2,84	2,84	2,84	2,84	2,84	2,84
32	6338	2,84	2,84	2,84	2,84	2,84	2,84
Çekirdek Kabuğu							
32	6338	3,67	3,32	3,32	3,32	3,32	3,32
100	6270	3,74	3,38	3,34	3,34	3,38	3,88
200	6170	3,83	3,46	3,42	3,40	3,47	3,94
300	6070	3,92	3,55	3,53	3,49	3,55	4,00
400	5970	4,07	3,63	3,69	3,65	3,65	4,06
500	5870	4,08	3,70	3,85	3,85	3,87	4,07
700	5670	4,21	3,81	4,18	4,18	4,30	-
1000	5370	4,40	4,97	4,61	4,61	4,65	4,41
1300	5070	4,67	5,18	4,98	4,98	4,83	-
1600	4770	4,72	5,36	5,08	5,08	5,00	4,74
2000	4370	4,92	5,59	5,08	5,08	5,22	4,94
2400	3970	5,11	5,80	5,08	5,08	5,42	5,13
2800	3570	5,30	6,00	5,08	5,08	5,61	5,42
2900	3470	5,36	6,06	5,26	5,24	5,66	5,57
Çekirdek							
2900	3470	10,06	9,34	9,92	10,06	9,70	9,74
3600	2970	11,06	10,19	10,90	11,06	10,62	10,72
5120	1250	12,35	11,27	12,27	12,35	11,97	15,00
6370	0	12,63	11,51	15,42	12,63	12,30	17,90

ÇİZELGE 1.1

Çeşitli yazarlara göre yeryuvarı kitlelerinde derinliğin (yarıçapın) fonksiyonu olarak yoğunluk [MacDONALD, G. J. F. (1964) den özetlenerek çıkartılmıştır].

Derinlik (km) d	Yarıçap (km) r	Yoğunluk (gr/cm ³) $\rho_r = \rho(r)$	Çekim (cm/s ²) $G_r = G(r)$	Basınç (10 ⁶ bar) $p_r = p(r)$
Yerkabuğu				
0	6371	2,76	980	0,000
33	6338	2,82	983	0,009
Çekirdek Kabuğu				
33	6338	3,32	983	0,009
80	6291	3,36	984	0,025
80	6291	3,87	984	0,025
200	6171	3,94	983	0,071
400	5971	4,06	981	0,149
600	5771	4,18	979	0,230
800	5571	4,30	977	0,313
1000	5371	4,41	975	0,398
1200	5171	4,52	974	0,485
1400	4971	4,63	975	0,574
1600	4771	4,74	977	0,666
1800	4571	4,84	980	0,759
2000	4371	4,94	987	0,855
2200	4171	5,03	996	0,954
2400	3971	5,13	1010	1,056
2600	3771	5,22	1028	1,161
2700	3671	5,27	1041	1,216
2900	3471	5,57	1068	1,330
Çekirdek				
2900	3471	9,74	1068	1,33
3000	3371	9,90	1048	1,41
3200	3171	10,20	1005	1,62
3400	2971	10,47	960	1,82
3600	2771	10,72	913	2,02
3800	2571	10,95	865	2,21
4000	2371	11,16	816	2,40
4200	2171	11,36	767	2,58
4400	1971	11,54	717	2,75
4600	1771	11,71	670	2,91
4800	1571	11,87	632	3,06
4982	1389	12,00	598	3,19
5121	1250	15,01	564	3,30
6371	0	17,90	0	3,92 10 ⁶

ÇİZELGE 1.2

Bullen(1940,1942)'e göre yeryuvarında derinliğin(yarıçapın) fonksiyonu olarak kitle yoğunluğu, çekim ve basınç [HEISKANEN, W.A.-F.A.VENING MEINESZ(1958)'den alınmıştır]

ropun denklemi de

$$U(X, Y, Z) = U \text{ . sabit} \quad (1.11)$$

olarak yazılır. Gerçek gravite vektörü \vec{g} dan hem büyüklük hem de doğrultu bakımından farklı olan standart (normal) gravite vektörü $\vec{\gamma}$ da

$$\vec{\gamma} = \text{grad } U = \left(\frac{\partial U}{\partial X}, \frac{\partial U}{\partial Y}, \frac{\partial U}{\partial Z} \right) \quad (1.12)$$

olarak bulunur. Nasıl \vec{g} jeopun normalı doğrultusunda $\vec{\gamma}$ da sferopun normalı doğrultusundadır.

2 - Çekül Sapması ve Türleri :

Koordinatları X,Y,Z olan bir P noktasından geçen jeop ile sferopun denklemlerindeki sabitler W_P , U_P ise bunlar arasında genel anlamda

$$W_P \neq U_P \quad (2.1)$$

eşitsizliği
ya da her hangi bir nokta için geçerli

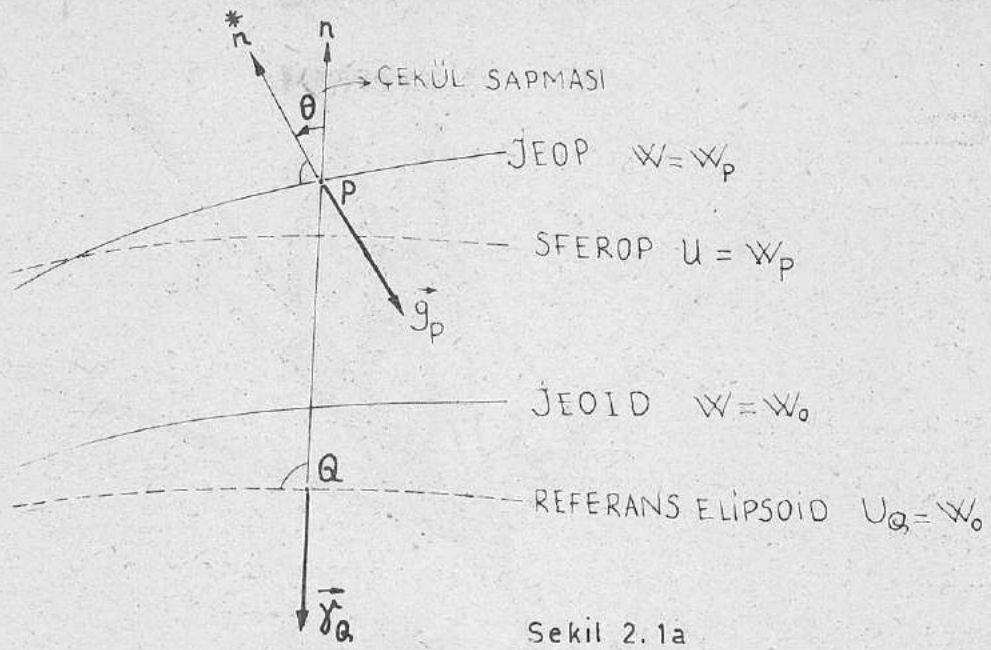
$$W(X,Y,Z) = -U(X,Y,Z) + T(X,Y,Z) \quad (2.2)$$

eşitliği yazılabilir. Buradaki $T(X,Y,Z)$ fonksiyonuna bozucu potansiyel denir. Standart gravite alanının potansiyel fonksiyonu bazı varsayımlarla belirli kılınabilir. Eğer bozucu potansiyel fonksiyonu da bazı gözlemler ve ölçülerle belirli kılınabilirse gerçek gravite alanının potansiyel fonksiyonu bulunmuş olur.

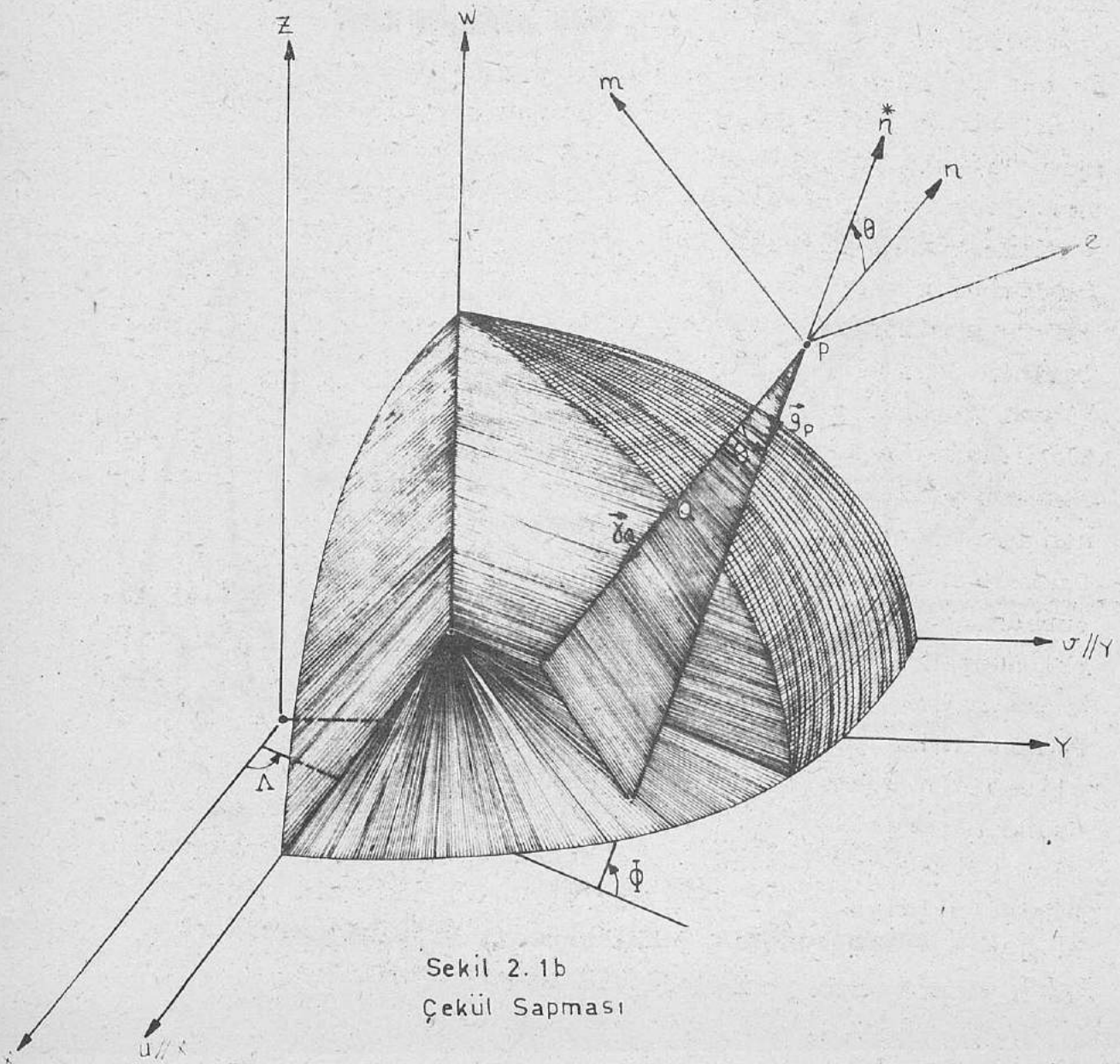
Diğer bir yol da özel bir jeop ile ya bunun karşılığı sferopun ya da jeoidin karşılığı referans elipsoidin geometrik şekilleri karşılaştırılabilir. Böylesi bir işlemde her iki yüzeyin normallerinin doğrultuları önemli roller yüklenirler. Şekil 2.1a, bir P noktası ile bundan referans elipsoide inilen dikin ayağı Q noktasını içinde bulunduran ve P'deki gerçek gravite vektörü \vec{g}_P ile Q'daki standart gravite vektörü \vec{g}_Q nun belirlediği düzlemi göstermektedir. Şekilde bu düzlemin P'den geçen jeop, onun karşılığı sferop, jeoid ve referans elipsoid ile arakesitleri de gösterilmiştir. Aynı düzlemin içinde bulunan \vec{n} ya da \vec{g}_P doğa içinde P noktasındaki bir çekülün ipi ile çakışır, \vec{n} ya da \vec{g}_Q ise düşünel bir çekül doğrultusudur. Bu nedenle bu iki normal arasındaki θ açısına TOPLAM ÇEKÜL SAPMASI ya da kısaca ÇEKÜL SAPMASI adı verilir. P'den geçen jeopun kendi karşılığı sferopla karşılaştırılması durumunda, Q noktası P'den bu sferopa inilen dikin ayağı olacaktır. Dolayısıyla düşünel çekül doğrultusu ve bundan ötürü de çekül sapması yukarıda tanımlanandan farklı olacaktır. Ancak yeryüzüne yakın noktalar için karşılaştırma

yüzeyi olarak referans elipsoidin alınması pratik gereksinimlerin doğurduğu bir gelenektir. Bu geleneğin dahası, ayrı jeoplar üzerinde bulunan P noktalarının uygun bir yolla jeodeide indirgenmeleridir.

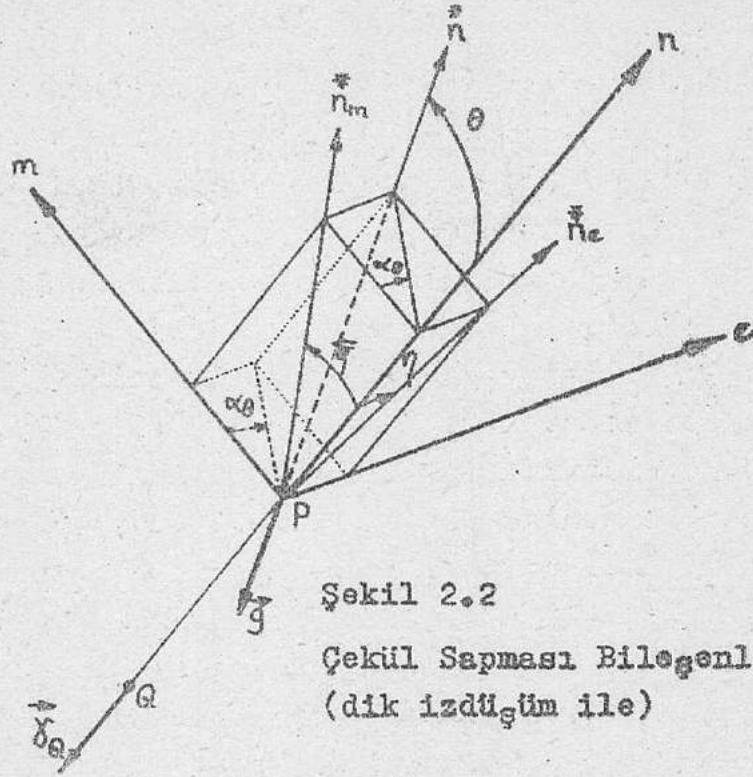
Çekül sapması, hesaplanma yöntemine ve kullanılan elipsoidin boyutları ile uzaydaki konumuna göre özel adlandırılır. Şekil 2.1b yeryuvarına ilişkin doğal ve referans koordinatları bir arada göstermektedir. X, Y, Z doğal koordinatların başlangıç noktası yeryuvarının ağırlık merkezidir. Z eksenini belirli bir epoch için yeryuvarının ortalama dönme eksenidir. X ve Y eksenleri aynı epocha ait ortalama astronomik ekvator düzlemi içinde yer alırlar. Bunlardan X eksenini Greenwich astronomik meridyen düzlemine paraleldir. Y eksenini de her ikisine dik olup bir sağ el sistemi oluşturur. Herhangi bir P noktasından geçen jeopun normalini n 'in ya da aynı doğrultuyu paylaşan \vec{g}_P gerçek gravite vektörünün bu eksenlere göre doğrultusu astronomik gözlemlerle belirlenebilir. Bunlar ϕ (astronomik enlem) ve λ (astronomik boylam) dır. u, v, w referans koordinatların başlangıcı kullanılan referans elipsoidin geometrik merkezidir. Bu sistemin eksenlerinin doğal X, Y, Z sisteminin eksenlerine sırasıyla paralel olması gerekir ve pratikte bunun sağlanması için önlemler alınabilir. En ideal olanı sistemlerin özdeş olmalarıdır. Ancak son yıllarda hızla gelişen ve yapay uydulardan yararlanan uydu jeodezisi tekniklerinin dışındaki yöntemlerle pratikte bunun sağlanması hemen hemen olanaksızdır. Bu nedenle burada böylesine bir ayırım yapılmıştır. Başka bir deyişle iki sistem arasında dönüklük olmaması her zaman sağlanabilir ancak kayma pek çok uygulamada kaçınılmazdır. Yukarıda anılan P noktasının jeodezik (elipsoid) enlemi ϕ ve boylamı λ da elipsoidin normalini n ya da referans elipsoid üzerindeki standart gravite vektörü \vec{g}_Q nun referans sisteminin eksenlerine göre doğrultusunu belirler. Başlangıcı P, eksenlerinden birisi n , diğer biri buna dik ve P nin elipsoid meridyen düzleminde artı yönü jeodezik kuzeye yönelmiş m , diğeri m ve n ye dik artı yönü jeodezik doğuya yönelmiş e olan bir



Sekil 2.1a
Çekül Sapması

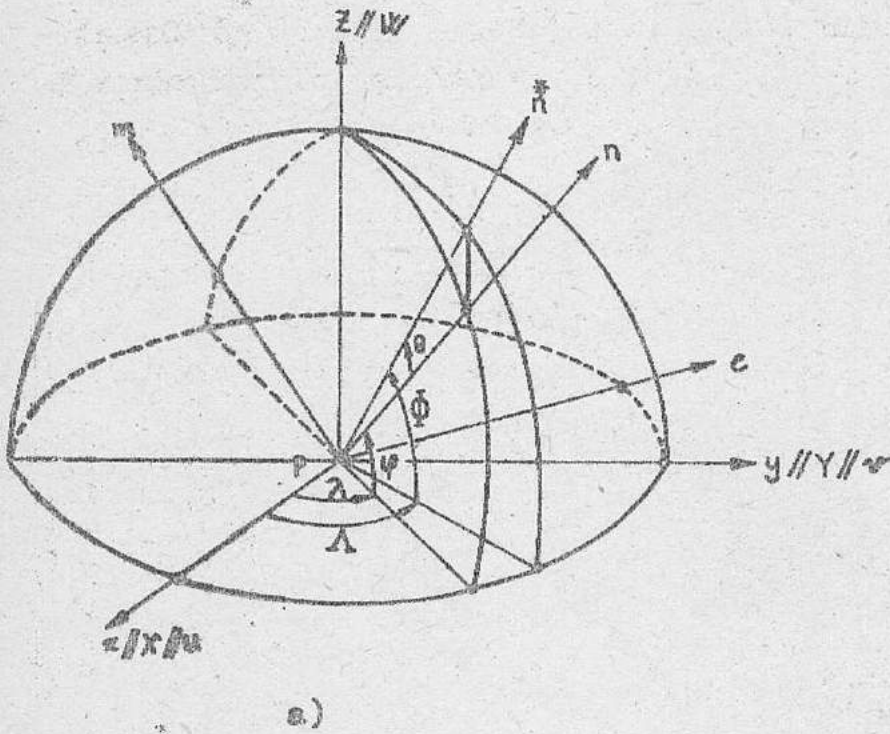


Sekil 2.1b
Çekül Sapması

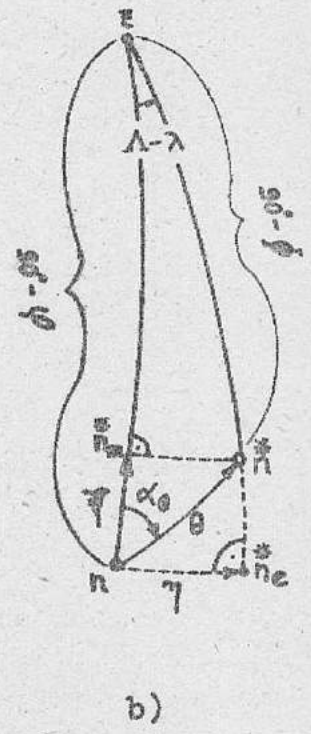


Şekil 2.2

Çekül Sapması Bileşenleri
(dik izdüşüm ile)



a)



b)

Şekil 2.3

Astrojeodezik Çekül sapması Bileşenleri

yerel referans dik koordinat sistemi daha düşünülebilir. Böylece P noktasındaki çekül sapmasının tüm geometrik ayrıntıları bu sistemde incelenebilir. Şekil 2.2 de görüldüğü gibi \hat{n}^* doğrultusu (n, e) ve (n, m) düzlemlerine izdüşürülerek \hat{n}_e^* ve \hat{n}_m^* doğrultuları elde edilir. Bunların n doğrultusu ile yaptıkları η ve ξ açıları Θ çekül sapmasının doğu-batı ve kuzey-güney bileşenleridir. (n, \hat{n}^*) ile (n, m) düzlemleri arasındaki ölçek açısı α_Θ olup Θ çekül sapmasının e, m, n sistemindeki azimutudur. Anılan η ve ξ çekül sapması bileşenlerinin astronomik (Φ, Λ) ve jeodezik (λ, φ) koordinatlardan elde edilebilmesi için P noktasından $X//u, Y//v, Z//w$ eksenlerine birer paralel çizilir. Ayrıca merkezi P yarıçapı birim olan bir küre düşünülürse ortaya Şekil 2.3a çıkar. Şeklin üzerinde astronomik (Λ, Φ) ve jeodezik (λ, φ) koordinatlar ve çekül sapması Θ açısı olarak görülmektedir. Bu açılara birim küre üzerinde karşılık gelen yaylar ile η ve ξ açılara karşılık gelen yaylar $Z//w//, n, \hat{n}, \hat{n}_e, \hat{n}_m$ doğrultularının birim küreyi deldiği noktalardan elde edilecek Şekil 2.3b de görülmektedir. P noktası kutuptan yeterince uzakta ise oluşan küresel üçgenin $(\Lambda - \lambda)$ açısı çok küçüktür. Bu durumda

$$\begin{aligned} \sin(\Lambda - \lambda) &\approx \Lambda - \lambda & , & \cos(\Lambda - \lambda) \approx 1 \\ \sin(\Phi - \varphi) &\approx \Phi - \varphi & , & \cos(\Phi - \varphi) \approx 1 \\ \sin \eta &\approx \eta & , & \cos \eta \approx 1 \\ \sin \xi &\approx \xi & , & \cos \xi \approx 1 \end{aligned}$$

yaklaşıklıkları kullanılarak şekildeki küresel üçgenlerden

$$\eta = (\Lambda - \lambda) \cdot \cos \varphi \quad (2.3)$$

$$\xi = \Phi - \varphi \quad (2.4)$$

$$\begin{Bmatrix} \eta \\ \xi \end{Bmatrix} = \Theta \cdot \begin{Bmatrix} \sin \alpha_\Theta \\ \cos \alpha_\Theta \end{Bmatrix} \quad (2.5)$$

$$\Theta = \sqrt{\eta^2 + \xi^2} = \eta \cdot \sin \alpha_\Theta + \xi \cdot \cos \alpha_\Theta \quad (2.6)$$

yazılabilir. Ayrıca θ çekül sapmasının α gibi her hangi bir doğrultudaki bileşeni

$$\epsilon_{\alpha} = \theta \cdot \cos(\alpha_{\theta} - \alpha)$$

$$\epsilon_{\alpha} = \theta \cdot \sin \alpha_{\theta} \cdot \sin \alpha + \theta \cdot \cos \alpha_{\theta} \cdot \cos \alpha$$

$$\epsilon_{\alpha} = \eta \cdot \sin \alpha + \xi \cdot \cos \alpha \quad (2.7)$$

eşitliğinden elde edilir.

Çekül sapması bileşenleri, (2.2) ve (2.3) eşitlikleri ile astronomik ve jeodezik verilerden hesaplanırsa ASTROJEODEZİK ÇEKÜL SAPMASI adını alır.

Ortalama yer elipsoidi referans elipsoidi olarak alınır, bunun u,v,w eksenleri doğal X,Y,Z eksenleri ile özdeşleştirilirse bulunacak çekül sapmalarına MUTLAK ÇEKÜL SAPMASI adı verilir. Bundan farklı boyutlardaki bir referans elipsoid ya da u,v,w eksenlerinin X,Y,Z eksenleri ile özdeş olmamaları halinde elipsoid normali ve dolayısıyla çekül sapması bileşenleri değişecektir. Böylesi durumlarda bulunacak çekül sapmalarına RELATİF ÇEKÜL SAPMASI denir. Pratikte karşılaşılan astrojeodezik çekül sapmaları genellikle relatif çekül sapmalarıdır.

Çekül sapması bileşenleri gravite ölçülerinden de hesaplanabilir. Bunun için

$$\begin{Bmatrix} \eta \\ \xi \end{Bmatrix} = \frac{1}{4\pi G} \iint_C \Delta g \cdot \frac{dS(\psi)}{d\psi} \begin{Bmatrix} \sin \alpha \\ \cos \alpha \end{Bmatrix} dC \quad (2.8)$$

biçimindeki Vening Meinesz integralleri kullanılır. Burada G yeryüzü için ortalama bir gravite değeridir; C tüm yeryüzünü, dC yüzey elemanını, ψ yüzey elemanının bulunulan noktaya olan küresel uzaklığını, α bunun azimutunu temsil eder; S(ψ) Stokes fonksiyonunun ψ ye göre türevi olan $\frac{dS}{d\psi}$ Vening Meinesz fonksiyonu olarak bilinir; gravite anomalisi

ölçülen g_p ile hesaplanan δ_Q değerlerinin farkı olarak

$$\Delta g = g_p - \delta_Q \quad (2.9)$$

biçiminde hesaplanır. Formüller çıkartılırken a) tüm P noktalarının jeoid üzerinde bulunduğu, b) referans elipsoidin geometrik merkezinin yeryuvarının ağırlık merkezinde olduğu ve üzerindeki gravite potansiyelinin jeoidin potansiyeline eşit olduğu ilk koşulları konmuştur. Gravite ölçülerinden hesaplandıklarından bunlara GRAVİMETRİK ÇEKÜL SAPMASI adı verilir. Formüllerin çıkışında alınan koşullar göz önünde tutulursa bunların jeoid yüzündeki noktalara ait mutlak çekül sapmaları olduğu görülür. Gravite anomali-sine ait (2.9) formülündeki g_p yeryüzünde ölçülen gravite olmayıp bunun jeoide indirgenmişidir.

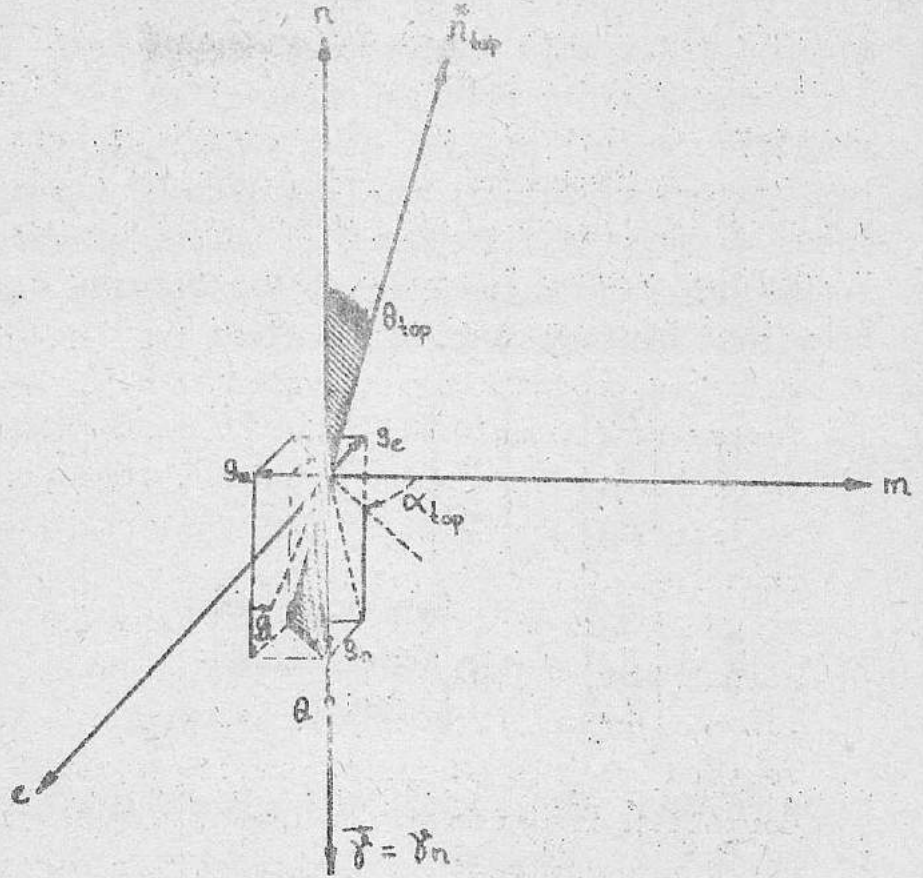
Gerek astrojeodezik gerekse gravimetrik çekül sapmalarının bulunmasında arazide gözlem ve ölçü yapmak kaçınılmazdır. Oysa aşağıda ayrıntılarına inilecek olan TOPOĞRAFİK ÇEKÜL SAPMASI ve İZOSTATİK ÇEKÜL SAPMASI ya da her ikisini de içeren TOPOĞRAFİK-İZOSTATİK ÇEKÜL SAPMASI'nı bulmak için doğa içinde gözlem yapmaya gerek yoktur. Bunlar yeryuvarını oluşturan kitlelerdeki yoğunluk dağılımlarına ilişkin bazı varsayımlara dayanıp topoğrafik haritalardan elde edilecek yeryüzü engebeleri ile hesaplanırlar. Bu nedenle bazı kaynaklarda bunlara "yeryüzündeki görünen kitlelerin çekül doğrultusuna etkisi" ya da "topoğrafik-izostatik çekül sapması indirgemesi" gibi adlar verilir.

3 - Topoğrafik Çekül Sapması :

Pratikte topoğrafik çekül sapmaları da gravimetrik çekül sapmaları gibi jeoid yüzündeki bir nokta için hesaplanır.

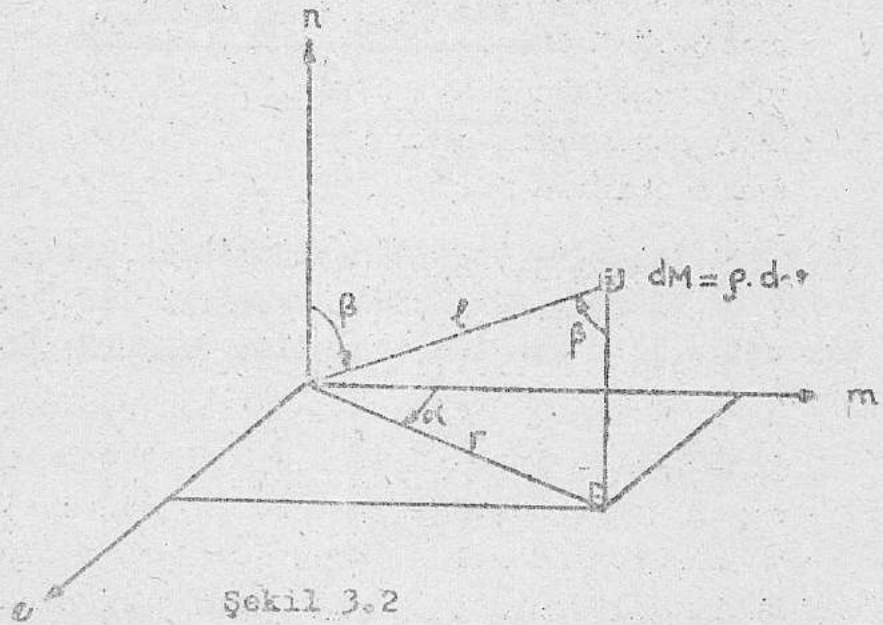
Jeoidin bir dönele elipsoid biçiminde olduğunu varsayabilmek a) jeoidin dışında hiç bir kitlenin bulunmadığını, b) yeryuvarını oluşturan kitlelerin bu varsayımı doğrulayan bir yoğunluk dağılımına uyduğunu varsaymakla olasıdır. Bir an için bu varsayımlar kabullenilirse jeoid yerine u, v, w eksenleri X, Y, Z eksenleri ile çakışan bir dönele elipsoid düşünmek gerekir. Bu, aynı zamanda referans elipsoid olarak alınabilir. Böylece jeoid yüzündeki P ile referans elipsoid yüzünde bunun karşılığı Q üst üste gelir, gerçek gravite vektörü \vec{g}_P ile standart gravite vektörü \vec{g}_Q ve jeoidin normali \vec{n} ile referans elipsoidin normali n özdeş olur. Ancak, deniz seviyesinin üstünde diğer bir deyişle jeoidin dışında kitlelerin varlığı görünen bir gerçektir, bunların bulunmadığı varsayılmaz. Dolayısıyla jeoid altındaki kitlelerde yoğunluk dağılımlarının bir dönele elipsoid için öngörülen düzgünlükte olduğu kabullenilse bile dıştaki kitlelerin çekim etkisi ile bu şekil bozulacaktır. Bu nedenle gravite vektörünün hem büyüklüğü hem de doğrultusu, dolayısıyla $\vec{n}(n)$ normalinin doğrultusu az da olsa sapacaktır. İşte bu sapma açısına TOPOĞRAFİK ÇEKÜL SAPMASI adı verilir.

Şekil 3.1, bu durumu başlangıcı P (jeoid noktası) olan bir yerel dik koordinat sisteminde göstermektedir. Jeoid dışında kitlelerin bulunmaması halinde P ile Q, n ile \vec{n} ve \vec{g} ile \vec{g} özdeş olacaktı. Jeoid dışında düzgün olmayan kitlelerin varlığı ile bu noktadaki gravite ve potansiyel değişecek, dolayısıyla eşpotansiyelli noktaların geometrik yeri dönele elipsoidten farklı bir biçime girecek ve bu yüzeyin normali \vec{n}_{top} ile n arasında topoğrafik çekül sapması θ_{top} açısı oluşacaktır. Bu açının düzleminin e, m, n sistemindeki azimutu ise α_{top} olacaktır. Böylece jeoidin



Şekil 3.1

Topoğrafik Çekil Sapması



Şekil 3.2

Nokta kitlenin yerel dik ve kutupsal koordinatları

dışında kitlelerin bulunmaması durumundaki $\vec{\delta}$ gravite vektörleri seçilecek referans elipsoidle birlikte düşünülerek standart gravite alanını oluşturdukları, buna karşılık düzgün olmayan kitlelerin varlığı dikkate alınmakla elde edilecek \vec{g} gravite vektörleri de gerçek gravite alanını oluşturdukları varsayılacaktır. Bu vektörlerin e, m, n yerel dik koordinat sistemindeki bileşenleri de

$$\vec{\delta} = \begin{bmatrix} \delta_e \\ \delta_m \\ \delta_n \end{bmatrix} = \begin{bmatrix} 0 \\ 0 \\ \delta \end{bmatrix}, \quad (3.1)$$

$$\vec{g} = \begin{bmatrix} g_e \\ g_m \\ g_n \end{bmatrix} = -g \cdot \begin{bmatrix} \sin \alpha \sin \Theta \\ \cos \alpha \sin \Theta \\ \cos \Theta \end{bmatrix}_{\text{top}} \quad (3.2)$$

olur. Buradan, Θ_{top} küçük bir açı olduğundan $\sin \Theta = \Theta$ ve $\tan \Theta = \Theta$ konarak

$$\eta_{\text{top}} = \Theta_{\text{top}} \cdot \sin \alpha_{\text{top}} = -\frac{g_e}{g} \quad (3.3)$$

$$\xi_{\text{top}} = \Theta_{\text{top}} \cos \alpha_{\text{top}} = -\frac{g_m}{g} \quad (3.4)$$

$$\Theta_{\text{top}} = -\frac{g_e \sin \alpha_{\text{top}} + g_m \cos \alpha_{\text{top}}}{g} \quad (3.5)$$

$$g = \sqrt{g_e^2 + g_m^2 + g_n^2} \quad (3.6)$$

elde edilir. Diğer taraftan, topoğrafik kitleler olmasaydı \vec{g} ile $\vec{\delta}$ özdeş olacaklardı varsayımı ile jeoid yüzündeki bir nokta için gravite anomalisi vektörü olarak

$$\vec{\Delta g} = \vec{g} - \vec{\delta} = \begin{bmatrix} g_e \\ g_m \\ g_n - \delta \end{bmatrix} \quad (3.7)$$

biçiminde yazılacak fark vektörünün kaynağının yeryüzündeki tüm topoğrafik kitleler olduğu söylenebilir. Bu kitlelerden

(3.7) fark vektörünün bileşenleri, dolayısıyla de (3.3) ve (3.4) den topoğrafik çekül sapmasının doğu-batı ve kuzey-güney bileşenleri hesaplanır.

Newton çekim yasasına göre dM kitle elemanının kendisinden ℓ kadar uzağındaki bir birim kitleye uygulayacağı çekim kuvveti dg , k çekim sabiti olmak üzere

$$dg = k \frac{dM}{\ell^2} = k \cdot \frac{\rho}{\ell^2} dv \quad (3.8)$$

ile bellidir. Bu kuvvet ℓ boyunca olacağından, ℓ 'nin e, m, n sisteminde başucu açısı β , azimutu α ise kuvvetin bu sistemdeki bileşenleri de

$$\vec{dg} = \begin{bmatrix} dg_e \\ dg_m \\ dg_n \end{bmatrix} = dg \cdot \begin{bmatrix} \sin \alpha \sin \beta \\ \cos \alpha \sin \beta \\ \cos \beta \end{bmatrix} \quad (3.9)$$

ile belirlidir. Diğer taraftan dM kitle elemanın yoğunluğu ρ ; hacim elemanı dv ; bunun koordinatları e, m, n ile

$$\sin \beta = \frac{r}{\ell} = \sqrt{\frac{e^2 + m^2}{e^2 + m^2 + n^2}} \quad (3.10)$$

olduğuna göre (3.3), (3.4), (3.8), (3.9) ve (3.10) ile

$$\left\{ \begin{array}{l} d\eta \\ d\xi \end{array} \right\}_{\text{top}} = -k \cdot \frac{\rho}{g} \cdot \frac{r}{\ell^3} \cdot \begin{Bmatrix} \sin \alpha \\ \cos \alpha \end{Bmatrix} \cdot dv \quad (3.11)$$

bulunur. Bu eşitlikte g paydada olduğundan integaryon sırasında yerine tüm yeryuvarı için sabit bir G alınmakla pratik değeri olmayan, küçük ve gözardı edilebilecek bir hata yapılmış olunur. Böylece (3.11) tüm topoğrafik kitleler için integre edilerek

$$\left\{ \begin{array}{l} \eta \\ \xi \end{array} \right\}_{\text{top}} = -\frac{k}{G} \iiint_{v_{\text{top}}} \frac{r}{\ell^3} \cdot \rho \cdot \begin{Bmatrix} \sin \alpha \\ \cos \alpha \end{Bmatrix} \cdot dv \quad (3.12)$$

bulunur. Bu integraldeki hacim elemanı dv Şekil 3.3 de görüldüğü gibi oluşturulabilir. Bu referans elipsoidin normalini doğrultusunda integre edilirse tepe noktaları aşağıya yönelmiş pramit biçiminde bir kolon elemanına dönüşür. Söz konusu kolon elemanının tepesinde oluşan uzay açısına $d\sigma$ denirse dv hacim elemanı

$$dv = (M + z)(N + z) \cdot dz \cdot d\sigma \quad (3.13)$$

olarak yazılabilir. Hacim elemanının elipsoid koordinatları λ, φ, z dir. (3.13) de geçen M ve N referans elipsoidin yarıçaplarından büyüğü a küçüğü b , birinci dışmerkezliği $e^2 = (a^2 - b^2)/a^2$ ve hacim elemanının jeodezik enlemi φ ile

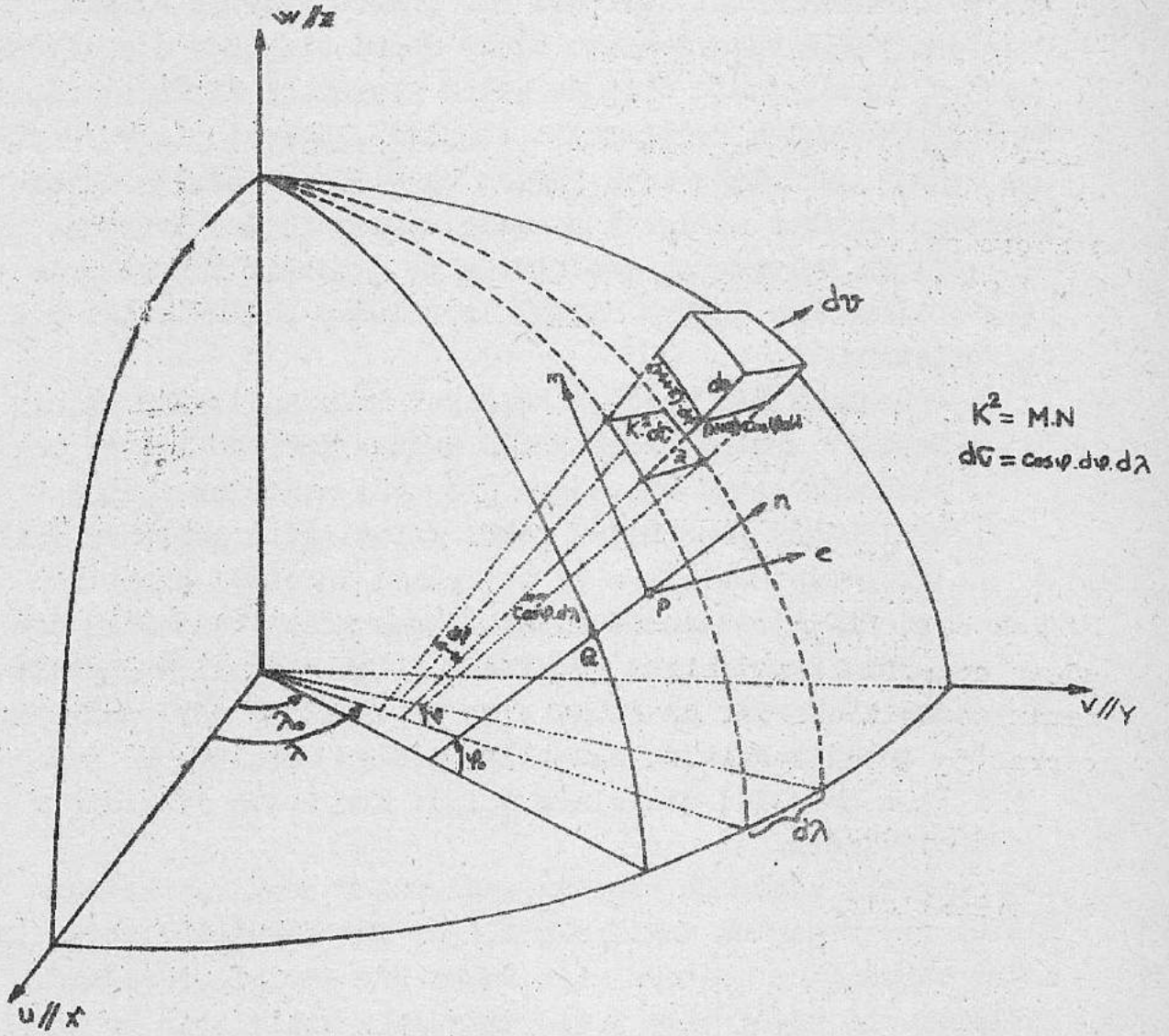
$$M = \frac{a(1 - e^2)}{(1 - e^2 \sin^2 \varphi)^{3/2}} \quad (3.14)$$

$$N = \frac{a}{(1 - e^2 \sin^2 \varphi)^{1/2}} \quad (3.15)$$

olarak belirlidir ve referans elipsoidin meridyen ve birinci düşey doğrultularındaki eğrilik yarıçaplarıdır. Kolon elemanının tepesindeki $d\sigma$ uzay açısı birim kürede yüzey elemanı olarak da düşünülebilir. Elipsoid koordinatlarına göre bu

$$d\sigma = \cos \varphi \cdot d\varphi \cdot d\lambda \quad (3.16)$$

ile belirlidir.



Şekil 3.3

İskara yönteminde hacim elemanı

4 - İ z o s t a t i k Ç e k ü l S a p m a s ı :

İster astrojeodezik isterse gravimetrik olsun gözleme ve ölçülerden bulunacak çekül sapmalarının topoğrafik çekül sapmalarıyla karşılaştırılabilmesi ya da topoğrafik kitlelerin çekimi yok kabul edilecek bir gerçek gravite alanının eşpotansiyelli yüzeylerinin birer dönел elipsoid olabilmesi ancak ve ancak jeoid altında kalan yeryuvarı kitlelerinin buna ^{uyan} bir yoğunluk dağılımıyla olasıdır. Böylesi bir varsayımın doğaya uygunluğu için gözlem ve ölçü sonuçlarıyla varsayımdan hareket edilerek hesaplanacak sonuçlar arasında bir çelişki bulunmamak gerekir. Bunun jeodezik yöntemlerle araştırılmasında bugüne değin birbirinden bağımsız iki yol denenmiştir:

- a - Sınırlı bir bölgeyi kapsayan triyangelasyon ağının Laplace noktalarında jeoid yüzüne indirgenmiş astrojeodezik çekül sapmaları ile aynı noktalar için hesaplanacak topoğrafik çekül sapmaları arasındaki farklar, gözlem hataları ve hesaplama inceliği sınırları içinde, iki elipsoid sistemi arasındaki benzerlik dönüşümü kurallarına uymalıdır. Bölge yeterli küçüklükte ise bu farkların sabit olması gerektiği söylenebilir.
- b - Bouguer gravite anomalileri, ölçü hataları ve hesaplama inceliği sınırları içinde her nokta için sıfır olmalıdır.

Oysa her iki yöntemde yapılan sağlamalar jeoid altındaki kitlelerin yoğunluk dağılımları için öne sürülen varsayımın doğru olmadığını göstermiştir. Başka bir deyişle, topoğrafik kitleler olmasaydı bile jeoid altındaki kitlelerin yoğunluk dağılımları jeoidi bir dönел elipsoid varsaymaya elvermeyecektir. Buradan bir adım daha ilerlenip, yer kabuğunun kalınlığı ve yer kabuğu kitlelerinin yoğunluk dağılımlarıyla ilgili varsayımlar ortaya konmuştur. Bunlar genel ad olarak İZOSTASİ KURAMI denir.

Konunun daha iyi anlaşılabilirliğini sağlamak amacı ile yukarıda anılan "Topoğrafik kitleler olmasaydı jeoid

bir dönel elipsoid olurdu." varsayımının yeterli olmadığı-
nın gözleendiği ilk rastlantısal olayların burada sözünü
etmekte yarar vardır.

19. yüzyılın ortalarına doğru ünlü İngiliz jeodezici-
si Everest Hindistanda bir triyngulasyon ağı kurmuş ve
Kaliana ile yaklaşık 650 km güneyindeki Kalianpur noktala-
rında ^{astronomik} gözlemlerle enlem belirlemiştir. Everest bu iki nok-
tanın triyngulasyon ağından elde ettiği jeodezik enlemler-
in farkının astronomik gözlemlerle belirlediği astrono-
mik enlemlerin farkından 5",24 daha büyük olduğunu görmüş-
tür. Bunun anlamı, anılan noktalardaki astrojeodezik çekül
sapmalarının farkının 5",24 olduğudur. Kalküta'da bir İn-
giliz başdiyakosu (din adamı) olan J.H. PRATT ilkin bunun
triyngulasyon ağındaki ölçü hatalarından gelmediğini, asıl
nedenin yakındaki Himalaya dağlarının kitlelerinin çekül
doğrultusunu saptırmasının bir sonucu olduğunu düşünmüştür.
Böylece topoğrafik çekül sapması kavramı doğmuştur. Ancak
Pratt sözkonusu iki noktada da topoğrafik çekül sapmaları-
nı hesaplayıp farklarını aldığında görmüştür ki bu açıklama
yetersizdir. Çünkü Kaliana'da 27",85 , Kalianpur'da
11",97 olarak hesapladığı topoğrafik çekül sapmalarının
farkı 15",88 dir ve astrojeodezik çekül sapmaları farkın-
dan çok büyüktür. Bu sonuç J.H. Pratt'a ve yine bir İngiliz
olan astronomici G.B. Airy'ye izostatik denge kavramı için
esin kaynağı olmuştur.

Diğer yandan, yaklaşık bir yüzyıl kadar daha önce 18.
yüzyıl ortalarında yeryuvarının şekliyle ilgili araştırmalar
yapmak üzere Fransız'ların Peru'ya gönderdiği jeodezi
heyetinin bir üyesi olan Pierre Bouguer yapılan gravite
ölçülerinden topoğrafik kitlelerin etkilerini kaldırmak
için bunların çekimlerini hesaplamış ancak bunları umdu-
ğundan düzenli olarak küçük bulmuştur. Başka bir deyişle
Bouguer anomalileri dağlık bölgelerde arazinin yüksekliği
ile orantılı, düzenli bir biçimde eksi işaretli çıkmıştır.

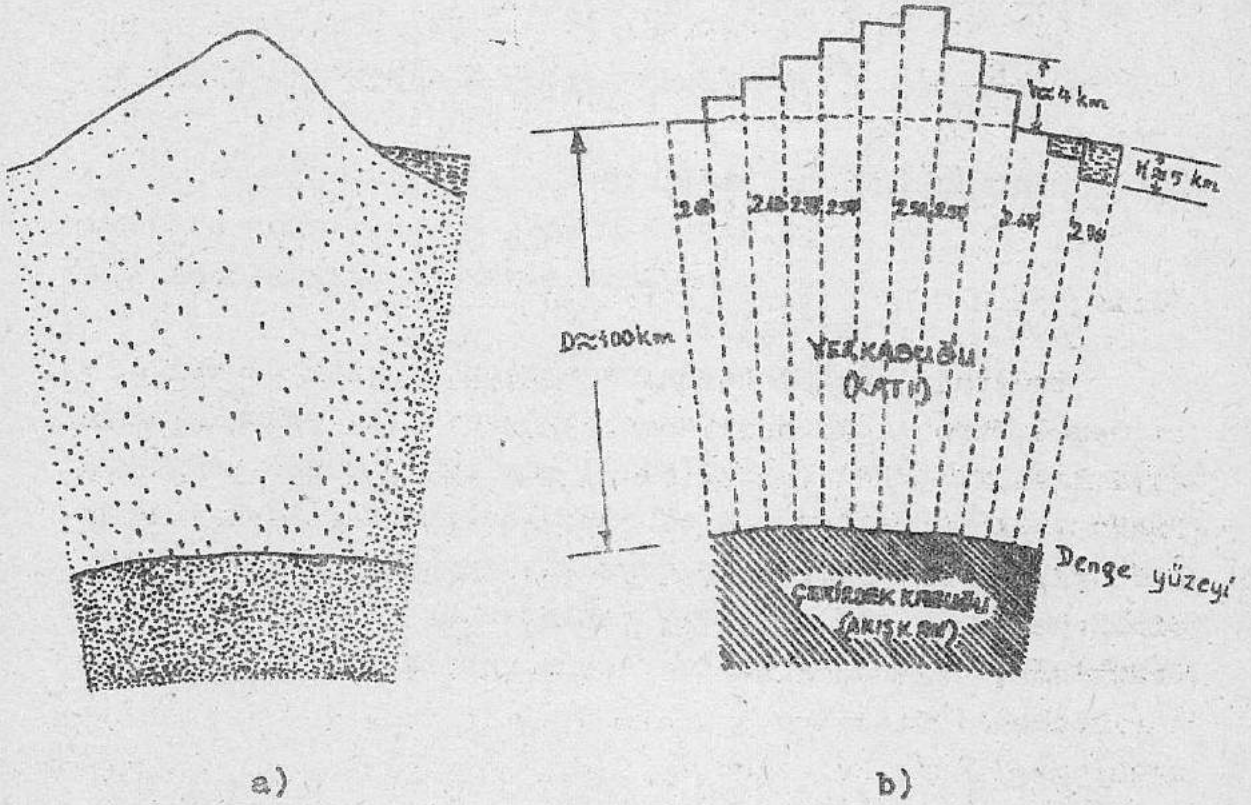
Bu durumu, R. J. Boscevic, Pratt'ın kendisinden yüzyıl kadar sonra başka bir nedene dayanarak verdiği izostatik denge açıklamasına paralel bir biçimde yorumlamıştır. Ancak sayısal hesaplamalara girişmemiştir.

Aslında bu doğa gerçeği 16. yüzyıl başlarında rönesansın ünlü adı Leonardo da Vinci tarafından da sezgi yoluyla görülmüştür. Konuyla ilgili ilk yazılı belgenin de ona ait olduğu sanılmaktadır.

İzostasi sözcüğü ilk kez 1889 yılında bir Amerikalı jeolog olan C. E. Dutton tarafından kullanılmıştır.

İzostasi kuramı bugüne dek birbirinden farklı iki ayrı temel varsayımla açıklanmıştır. Bunlar Pratt ve Airy varsayımlarıdır. Kendi varsayımlarını açıklayan birer makaleyi Pratt 7/Aralık/1854, Airy 25/Ocak/1855 tarihlerinde birbirlerinden habersiz (Royal Society, London) a göndermişlerdir. Daha sonra, 20. yüzyılın ilk yarısında da J. F. Hayford, Pratt'ın, W. A. Heiskanen de Airy'nin varsayımlarını kendilerince geliştirip yaygın bir biçimde jeodezik çalışmalara uygulamışlardır. Bu nedenle, bu iki varsayımdan çoğu kaynakta Pratt-Hayford, Airy-Heiskanen sistemleri olarak söz edilir.

Pratt - Hayford Sistemi: Pratt'ın varsayımında katı yerkabuğu ile sıvı çekirdek kabuğu arasında düzgün bir denge yüzeyinin varlığı kabul edilir. Ayrıca yerkabuğunun kalınlaştığı yerlerde yoğunluğun standart yerkabuğu yoğunluğundan az, incelendiği yerlerde çok olduğu varsayılmaktadır. Böylece yerkabuğunun küçük bir bölümü için Şekil 4.1a'da görülen kesit resmi çizilebilir. Yerkabuğu sanki bir tekne de duran ve toplam kitlesi önceki ile aynı olan mayalı hamur gibi yer yer kabarmıştır ve yeryüzü engeleri oluşmuştur. Dağların, tepelerin altındaki kitlelerin yoğunluğu çukurlara göre daha azdır. Bu kabarmaların denge yüzeyinin biçimini etkilemediği varsayılmakla denge yüzeyinin her noktasında basıncın eşit olduğu kabul edilmektedir.



a)

b)

Şekil 4.1

Pratt-Hayford izostasi sistemi

Bu sistemin matematik tanımının verilmesi için yer-
kabuğu içindeki bir hacim elemanı ele alınıp aşağıya doğru
denge yüzeyine kadar, yukarıya doğru da yeryüzüne kadar uza-
tılarak yerkabuğu için bir kolon elemanı oluşturulur. Böyle-
ce Şekil 4.1a'daki kesit resmi Şekil 4.1b'deki görünümüne dö-
nüştür. Yerkabuğunun tümünü kapsayacak sonsuz sayıda kolonun
her birine ait yüzey elemanının sonsuz küçük bir sabite e-
şit olması durumunda denge yüzeyi üzerinde her noktaya sa-
bit basınç koşulu yeterli yaklaşıkla

$$\frac{1}{(M-D)(N-D)} \int_{-D}^h g \cdot \rho \cdot (M+z) \cdot (N+z) dz = \text{sabit} \quad (4.1)$$

olarak yazılabilir. Bu eşitlikte

D : Denge derinliği (Söz konusu kolon boyunca
denge yüzeyinin referans elipsoidten olan
uzaklığı),

$g = g(z)$: Kolon boyunca değişen gravite değeri,

$\rho = \rho(z)$: Kolon boyunca değişen kitle yoğunluğudur.

Kolon elemanı/kuvvet eğrisi (çekül eğrisi) boyunca değil de
referans elipsoid ^{in narmalı} boyunca oluşturulduğundan dolayı "yakla-
şık" deyiimi kullanılmıştır. Jeodezik uygulamalarda sayısız
pratik yararlar sağlayan bir yaklaşım da eşit kitle koşu-
ludur. Kolon boyunca yoğunluk sabit kabulü ile bu da

a) karalar için

$$\rho \int_{-D}^h (M+z)(N+z) dz = \rho N \cdot M \cdot (\bar{D} + \bar{h}) = C \quad (4.2)$$

b) denizler için

$$\rho \int_{-D}^{-h'} (M+z)(N+z) dz + \rho_w \int_{-D}^0 (M+z)(N+z) dz = \quad (4.3)$$
$$= \rho \cdot M \cdot N \cdot (\bar{D} - \bar{h}') - \rho_w M \cdot N \cdot \bar{h}' = C$$

olarak yazılır. Bu eşitliklerde

ρ : Yeryüzünde karaya ulaşan bir kolonda kitle yo-
ğunluğu,

h : Yeryüzünde karaya ulaşan bir kolonda arazinin
elipsoid yüksekliği,

ρ' : Yeryüzünde denize ulaşan bir kolonda su altında kalan kitlelerin yoğunluğu,

h' : Yeryüzünde denize ulaşan bir kolonda deniz derinliği,

ρ_w : Deniz suyu yoğunluğu,

C : Sabit,

$$\bar{h} = h \cdot \left(1 + \frac{N+M}{2NM} h + \frac{1}{3NM} h^2\right) \quad (4.4)$$

$$\bar{D} = D \cdot \left(1 - \frac{N+M}{2NM} D + \frac{1}{3NM} D^2\right) \quad (4.5)$$

$$\bar{h}' = h' \cdot \left(1 - \frac{N+M}{2NM} h' + \frac{1}{3NM} h'^2\right) \quad (4.6)$$

olarak belirlidir. Ancak (4.2) ve (4.3) eşitliklerinin izostatik çekül sapması hesaplarında kullanılabilmeleri için biraz değiştirilmeleri gerekir. Bu da yukarıda tam jeoidde biten bir kolonla sağlanır. Başka bir deyişle (4.2) eşitliğinde $h = 0$, (4.3) eşitliğinde $h' = 0$ konur ve bu kolonun kitle yoğunluğu ρ_0 , sabit kalınlıklı (D) düğümsel bir standart yer kabuğunun sabit yoğunluğu olarak alınır. Böylece

$$C = \rho_0 \cdot N \cdot M \cdot \bar{D} \quad (4.7)$$

bulunur. Bu eşitlik (4.2) de yerine konursa

a) karalar için

$$\Delta\rho = \rho - \rho_0 = -\rho_0 \cdot \frac{\bar{h}}{(D+h)} \quad (4.8)$$

ve (4.3) de yerine konursa

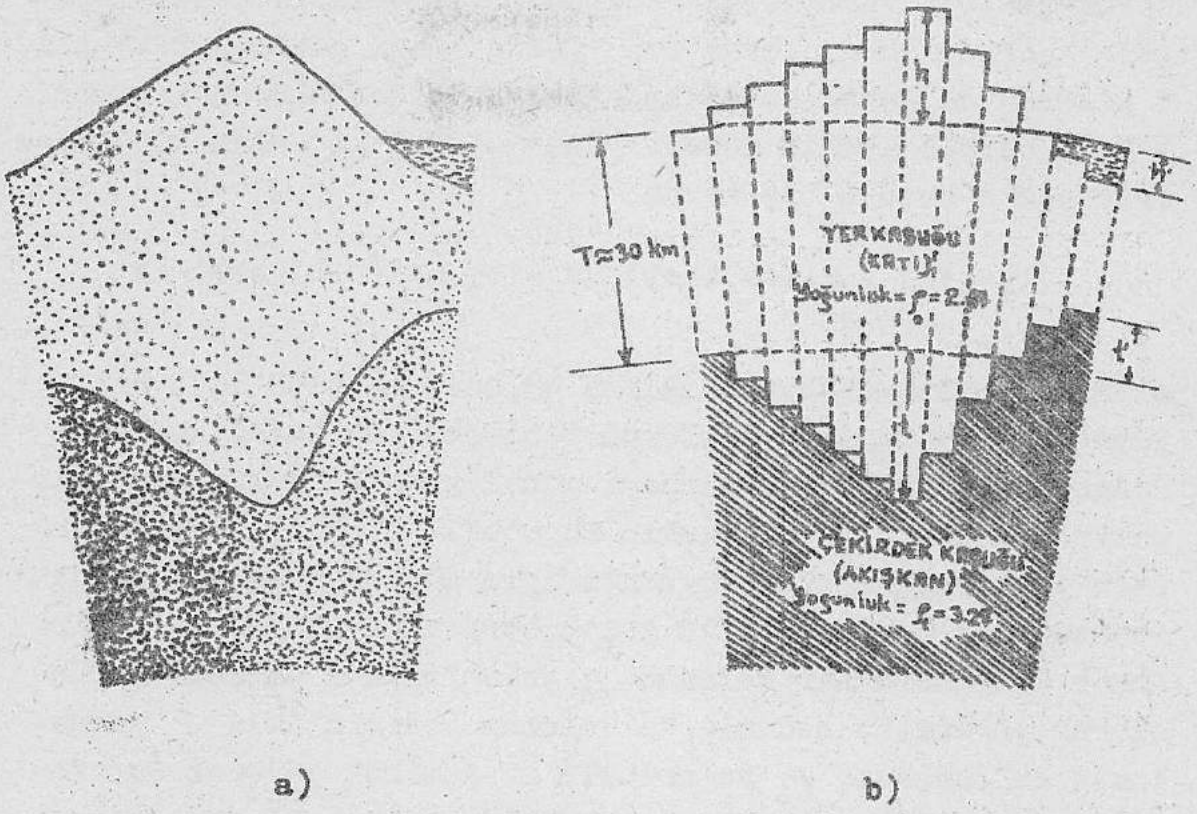
b) denizler için

$$\Delta\rho' = \rho' - \rho_0 = (\rho_0 - \rho_w) \cdot \frac{\bar{h}'}{(D-h')} \quad (4.9)$$

elde edilir. Pratikte sabit kalınlıklı standart bir yer kabuğunun sabit yoğunluğu ρ_0 olarak 2.67 gr/cm^3 , deniz suyunun yoğunluğu ρ_w olarak da 1.027 gr/cm^3 alınır.

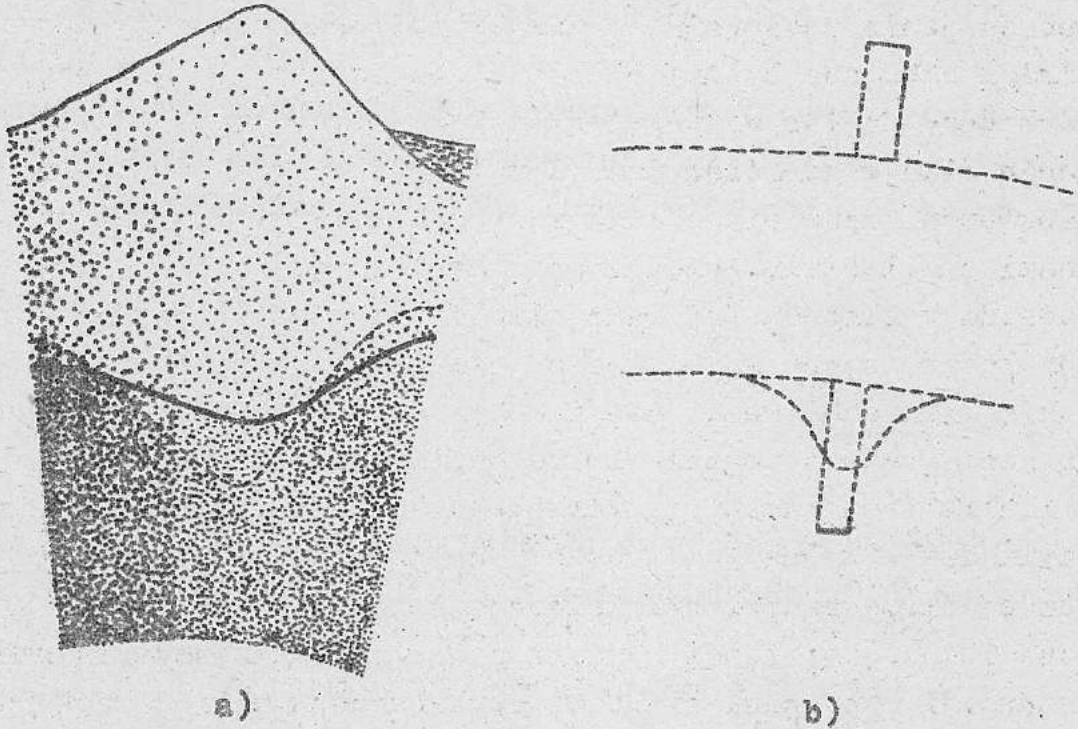
Bu matematik tanımlamalardan sonra Pratt-Hayford sisteminin sözcüklerle açıklanması oldukça kolaylaşır. Eğer yeryüzünde karaya ulaşan bir kolonun deniz seviyesinin üstünde kalan kısmı deniz seviyesinin altında kalan kısmına sıkıştırılırsa ve eğer yeryüzünde denize ulaşan bir kolonun su altında kalan kısmı gevşetilerek artan kitleler su olan kısmına sıkıştırılırsa sabit D kalınlığında ve sabit ρ_0 yoğunluğunda standart bir yerkabuğu elde edilir. Pratt bu kuramda denge yüzeyi olarak deniz seviyesinden her noktada eşit uzaklıkta bir yüzey almıştır. Hayford ise karalarda yeryüzünden, denizlerde deniz dibinden eşit uzaklıkta noktaların oluşturduğu yüzeyi denge yüzeyi olarak almıştır. Böylece deniz seviyesinden itibaren denge derinliği Pratt'a göre D , Hayford'a göre karalar için $D-h$ ve denizler için $D+h$ olacaktır.

Airy - Heiskanen Sistemi : Airy'nin varsayımında ρ_0 sabit yoğunluklu katı yerkabuğu, yoğunluğu ρ_1 'dan büyük ρ_1 olan sıvı çekirdek kabuğunda buz dağlarının suda yüzdükleri gibi yüzmektedir. Yerkabuğu, oluşurken deniz seviyesinden yüksekliği oranında aşağıda çekirdek kabuğuna batmış olacaktır. Başka bir deyişle, katı yerkabuğu dağlar ve tepelerin olduğu yerlerde kalın, denizlerin olduğu yerlerde ince olmalıdır. Bu varsayıma göre yerkabuğunun küçük bir bölümü için Şekil 4.2a'da görülen kesit resmi çizilebilir. Aynı Pratt varsayımında olduğu gibi burada da yerkabuğu referans elipsoidin normali boyunca oluşturulacak sonsuz sayıda kolon elemanına ayrılabilir. Böylece Şekil 4.2a'daki kesit resmi Şekil 4.2b görünümüne dönüşür. Bu kez ρ_0 sabit yoğunluklu ve deniz yüzeyinden itibaren T kalınlıklı standart bir yerkabuğu düşünülür. Yerel bir izostatik denge kabul edilirse her kolon kendi içinde denge durumundadır. Karadaki bir kolonun standart yerkabuğunda kalan T parçası kendi kendini dengeler. Deniz seviyesinin üstündeki h parçası standart yerkabuğunun altında çekirdek kabuğuna gömülü t parçası tarafından dengelenir. Kolonun bu



Şekil 4.2

Airy-Heiskanen izostasi sistemi.



Şekil 4.3

Bölgesel Vening Meinesz sistemi

parçasına (t parçasına) kök denir. Yukarıdaki benzetmeye göre kolonun h parçası suda yüzen buzun görünen kesimini, t parçası da buzun su altında kalan ve görünmeyen kesimini temsil eder. Bu, birim kürede yüzey elemanı dC olan bir kolon için yüzme koşulu biçiminde

$$(\rho_1 - \rho_0) \int_{-(T+t)}^{-T} g \cdot (M+z) \cdot (N+z) \cdot dz = \rho_0 \int_0^h g \cdot (M+z) \cdot (N+z) \cdot dz \quad (4.10)$$

olarak yazılır. Dikkat edilirse bu, kolonun tümü için bir yüzme koşulu değildir. Kolonun T parçasının kendi kendini dengelemesi koşulu, bu parçayı genel yüzme koşulundan çıkarılmaktadır. Sabit ρ_0 yoğunluklu ve sabit T kalınlıklı standart yerkaşuğunu tüm yeryuvarı için düşünmek gerektiğinden denizdeki bir kolon'da bu genel çerçevede ele alınmalıdır. Ancak denizdeki bir kolonun ρ_0 yoğunluklu T parçası bütün olarak yoktur. Bu nedenle de kolonun h' derinlikli ρ_w yoğunluklu su parçası, ρ_1 yoğunluklu t antikök parçası tarafından dengelenirken bütün olarak bulunmayan bu T parçası oluşturulur. Böylesi bir işlem kararlar için yazılan (4.10) eşitliğinde olduğu gibi yüzme koşulu biçimindeki

$$(\rho_1 - \rho_0) \int_{-T}^{-(T-t)} g \cdot (M+z) \cdot (N+z) \cdot dz = (\rho_0 - \rho_w) \int_{-h'}^0 g \cdot (M+z) \cdot (N+z) \cdot dz \quad (4.11)$$

denklemleriyle gerçekleşir. Gerek (4.10) gerekse (4.11) eşitlikleri yerine, integral boyunca değişken olan gravite g için sabit bir büyüklük kabul edilerek, yaklaşıklıkla

$$\bar{t} = \frac{\rho_0}{\rho_1 - \rho_0} \cdot \bar{h} \quad (4.12)$$

$$\bar{t}' = \frac{\rho_0 - \rho_w}{\rho_1 - \rho_0} \cdot \bar{h}' \quad (4.13)$$

yazılabilir. Buradaki \bar{h} ve \bar{h}' büyüklükleri (4.4) ve (4.6) ile \bar{t} ve \bar{t}' büyüklükleri de

$$\bar{t} = t \left[1 - \frac{M+N}{2MN} \cdot (2T+t) + \frac{1}{3MN} \cdot (3T^2 + 3Tt + t^2) \right] \quad (4.14)$$

$$\bar{t}' = t' \left[1 - \frac{M+N}{2MN} \cdot (2T+t') + \frac{1}{3MN} \cdot (3T^2 - 3Tt' + t'^2) \right] \quad (4.15)$$

ile belirlidir.

Özel bir yüzme durumu için yazılmış olan (4.10) ve (4.11) eşitliklerinin yaklaşığı olarak yazılan (4.12) ve (4.13) eşitliklerinin aslında daha gerçekçi bir fiziksel anlamı vardır. Karalara ait (4.12) eşitliğinin fiziksel yorumu şöyle yapılabilir. Eğer kolonun ρ_0 yoğunluklu h parçasının kitleleri oradan tümüyle alınıp t kök parçasına sıkıştırılırsa jeoidin üstünde hiç kitle kalmaz ve t parçasının yoğunluğu ρ_1 olur. Böylece ρ_0 yoğunluklu T kalınlıklı standart yer kabuğunun bir kolonu elde edilir. Aynı yolla (4.13) eşitliği de şöyle yorumlanabilir. Eğer kolonun t' antikök parçası gevşetilerek yoğunluk ρ_0 olacak şekilde bir miktar kitle alınıp bunlar ρ_w yoğunluklu h' derinlikli su parçasına sıkıştırılırsa yoğunluk burada da ρ_0 olur ve denizlere ait bir kolon standart yer kabuğunun bir kolonuna dönüşür. Ayrıca görülmektedir ki tüm bunlar yapılırken yer yuvarının toplam kitlesi değiştirilmemektedir.

Uygulamalarda denge derinliği T olarak 30 km dolaylarında bir değer, yoğunluklar olarak da yine $\rho_w = 1,027$, $\rho_0 = 2,67 \text{ gr/cm}^3$ ve $\rho_1 = 3,27 \text{ gr/cm}^3$ değerleri alınır. Bu değerlerle (4.12) ve (4.13) eşitlikleri için

$$\bar{t} = 4.45 \bar{h} \quad (4.16)$$

$$\bar{t}' = 2.73 \bar{h}' \quad (4.17)$$

elde edilir. Bunlar (4.14) ve (4.15) eşitliklerinde yerine konursa t ve t' büyüklükleri h ve h' cinsinden hesaplanabilir. Böylece ρ_0 yoğunluklu katı yer kabuğunun toplam kalınlığı karalarda

$$T_k = T + t + h \quad (4.18)$$

ve denizlerde

$$T_d = T - t' - h' \quad (4.19)$$

olarak bulunur.

Pratt'inkine göre daha akla yatkın görünen Airy varsayımı W.A.Heiskanen tarafından matematik temellere oturtulurken her kolonun yerel bir dengeye sahip olduğu kabulünden hareket edilmiştir. Bu kabul ancak bir ilk yaklaşım olarak düşünülebilir. Hollandalı bilgin F.A.Vening Meinesz doğa gerçeklerine daha uygun bir yaklaşım olan bölgesel dengeden hareket etmiştir. Böylece Şekil 4.3a'da görüldüğü gibi katı yerkabuğu ile sıvık çekirdek kabuğu arasındaki yüzey kesik çizgilerin temsil ettiği yerel denge biçiminde değil sürekli çizgilerin gösterdiği gibi bölgesel denge biçiminde olacaktır. Bölgesel Vening Meinesz sistemi olarak adlandırılan bu varsayımın matematik temelleri için Şekil 4.3b'de görüldüğü gibi bir kolon ele alınır. Standart yerkabuğu sanki gergin duran plastik bir plakaymış ve kolonun deniz seviyesi üzerindeki kitleleri bunun üzerine konan bir yükmiş gibi düşünülür. Böylesine bir durumda kolona ait kök kolonun uzantısı biçiminde olmayacak, tersine duran bir çan biçiminde oluşacaktır. Denizdeki bir kolon için bu kez antikök alttan uygulanan bir yükmiş gibi düşünülür. Burada bu sistemin ayrıntılarına girilmeyecektir.

Hangi sistem ele alınırsa alınsın, jeoidin üstündeki kitleleri traş edilmiş bir yerkabuğunun sabit kalınlık ve sabit yoğunluklu standart bir yerkabuğundan farklılıkları olduğu düşünülmektedir. Bu, Pratt-Hayford sisteminde yoğunluk, Airy-Heiskanen sisteminde kalınlık farkı olarak ele alınmaktadır. Bu nedenle jeoid dışındaki kitleler traş edil-seler bile yine de jeoplar ile sferoplar eşanlımlı geometrik şekiller olmayacak dolayısıyla normallerinin doğrultuları değişecektir. İşte bu doğrultu değişimi de İZOSTATİK ÇEKÜL SAPMASI adıyla anılır. Uygulamada bunlar da jeoid yüzündeki bir nokta için hesaplanır. Bulunmasındaki düşünce zinciri aynen topoğrafik çekül sapmasında olduğu gibidir. Jeoidin bir dönel elipsoid biçiminde olduğunun varsayılabilmesi için, a) yerkabuğunun sabit kalınlıkta ve sabit yoğunlukta olduğunun, b) yeryuvarının oluşturan kitlelerden

yerkabuğu altında kalanlarının bu varsayımı doğrulayan bir yoğunluk dağılımına sahip olduklarının, c) jeoidin dışında hiç bir kitlenin bulunmadığının varsayılması gerekmektedir. Bunlardan gerçek dışı sonuca varsayımın etkisinin giderilmesiyle bile jeoidin bir dönel elipsoid biçiminde olamayacağına gözlem ve ölçü sonuçlarıyla saptanabildiği yukarıda açıklanmıştı. Bu kez yerkabuğu altındaki kitlelerin yoğunluk dağılımlarının düzgünlüğü varsayılarak jeoid dışındaki kitleleri traş edilmiş yerkabuğunun ya sabit yoğunluktan (Pratt Hayford sistemi) ya da sabit kalınlıktan (Airy-Heiskanen sistemi) farklılıklarının ortaya çıkaracağı jeoidin n_{izo} normalinin doğrultusu ile referans elipsoidin n normalinin doğrultusunun farkı olan açı, daha doğrusu bu açının bileşenleri hesaplanacaktır. Bunun için (3.11) eşitliklerinde

$$\left. \begin{matrix} d\eta \\ d\xi \end{matrix} \right\}_{top} \text{ yerine } \left. \begin{matrix} d\eta \\ d\xi \end{matrix} \right\}_{izo} \text{ ve}$$

a) Pratt-Hayford sistemi uygulanacaksa

-karaya ait bir kolonun deniz seviyesiyle denge yüzeyi arasındaki her hangi bir hacim elemanı için ρ yerine (4.8) eşitliğindeki $\Delta\rho$,

-denize ait bir kolonun deniz dibiyle denge yüzeyi arasındaki her hangi bir hacim elemanı için ρ yerine (4.9) eşitliğindeki $\Delta\rho'$ ve ayrıca deniz seviyesiyle deniz dibi arasındaki her hangi bir hacim elemanı için ρ yerine

$$\Delta\rho_w = \rho_w - \rho_0,$$

b) Airy-Heiskanen sistemi uygulanacaksa

-karaya ait bir kolonun kök parçasındaki her hangi bir hacim elemanı için ρ yerine $\Delta\rho_1 = \rho_0 - \rho_1$,

-denize ait bir kolonun antikök parçasındaki her hangi bir hacim elemanı için ρ yerine $\Delta\rho'_1 = \rho_1 - \rho_0$ ve ayrıca deniz seviyesiyle deniz dibi arasındaki her hangi bir hacim elemanı için ρ yerine $\Delta\rho_w = \rho_w - \rho_0$ konur. Paydadaki gravite g için (3.11) eşitliğinde yapıldığı gibi ortalama bir G değeri alınır, önce kolonların gerekli parçaları sonra da karalar ve denizler için ayrı ayrı integraller alınır.

Pratt-Hayford sistemiyle

$$\left. \begin{matrix} \eta \\ \xi \end{matrix} \right\} \text{izo} = -\frac{k}{G} \left\{ \iiint_{\text{kara}} \left[\int_{-D}^0 \frac{r}{\rho^3} \cdot \Delta \rho' \cdot (M+z) \cdot (N+z) \cdot \begin{matrix} \sin \alpha \\ \cos \alpha \end{matrix} \cdot dz \right] \cdot dC \right. \\ \left. + \iiint_{\text{deniz}} \left[\int_{-h}^0 \frac{r}{\rho^3} \cdot \Delta \rho'_w \cdot (M+z) \cdot (N+z) \cdot \begin{matrix} \sin \alpha \\ \cos \alpha \end{matrix} \cdot dz \right. \right. \\ \left. \left. + \int_{-D}^0 \frac{r}{\rho^3} \cdot \Delta \rho' \cdot (M+z) \cdot (N+z) \cdot \begin{matrix} \sin \alpha \\ \cos \alpha \end{matrix} \cdot dz \right] \cdot dC \right\} \quad (4.20)$$

ya da Airy-Heiskanen sistemiyle

$$\left. \begin{matrix} \eta \\ \xi \end{matrix} \right\} \text{izo} = -\frac{k}{G} \left\{ \iiint_{\text{kara}} \left[\int_{-(T+t)}^{-T} \frac{r}{\rho^3} \cdot \Delta \rho'_1 \cdot (M+z) \cdot (N+z) \cdot \begin{matrix} \sin \alpha \\ \cos \alpha \end{matrix} \cdot dz \right] \cdot dC \right. \\ \left. + \iiint_{\text{deniz}} \left[\int_{-(T-t)}^0 \frac{r}{\rho^3} \cdot \Delta \rho'_w \cdot (M+z) \cdot (N+z) \cdot \begin{matrix} \sin \alpha \\ \cos \alpha \end{matrix} \cdot dz \right. \right. \\ \left. \left. - \int_{-T}^0 \frac{r}{\rho^3} \cdot \Delta \rho'_1 \cdot (M+z) \cdot (N+z) \cdot \begin{matrix} \sin \alpha \\ \cos \alpha \end{matrix} \cdot dz \right] \cdot dC \right\} \quad (4.21)$$

bulunur. Gerek Pratt-Hayford gerekse Airy-Heiskanen sistemiyle bulunan formüllerdeki:

$$-\frac{k}{G} \iiint_{\text{deniz}} \left[\int_{-h}^0 \frac{r}{\rho^3} \cdot \Delta \rho'_w \cdot (M+z) \cdot (N+z) \cdot \begin{matrix} \sin \alpha \\ \cos \alpha \end{matrix} \cdot dz \right] \cdot dC \quad (4.22)$$

terimi jeoid dışındaki kitlelere ait topoğrafik şekül sapmalarıyla aynı paralelde bir fiziksel yoruma uygundur. Nasıl ki jeoidin dışındaki kitleler görünen bir gerçekse suyun yoğunluğunun kara yoğunluğundan farklılığı da açık bir gerçektir. Bu nedenle yukarılarda sık sık geçen "jeoidin dışındaki kitleler olmasaydı" ifadesine "ve denizlerle karaların yoğunlukları birbirine eşit olsaydı" ifadesi eklenebilir. Böylece (4.22) ifadesi izostatikten çıkartılıp topoğrafik şekül sapmasına eklenebilir.

5 - T o p o ğ r a f i k - İ z o s t a t i k Ç e k ü l
S a p m a s ı v e İ l i ŝ k i n İ n t e g r a l
F o r m ü l l e r i :

Jeoidin bir dnel elipsoid varsayılabilmesi iin ne srlen koŝullardan yalnızca yerkabuęunun altındaki kitlelerin yoęunluk daęılımlarına iliŝkin varsayım kabullenilirse, jeoid ile referans elipsoidin normalleri arasındaki aı, topoęrafik ve izostatik ekl sapmalarının toplamı olacaktır. Matematik anlamda da bu, yukarıda verilen formllerin toplanmasıyla elde edilir. Bu yolla bulunan ekl sapmalarına da TOPOęRAFİK-İZOSTATİK EKL SAPMASI denir.

Jeoid üzerindeki bir P noktasına ait topoęrafik-izostatik ekl sapması nce

$$\begin{Bmatrix} \eta \\ \xi \end{Bmatrix}_{\text{top-izo}} = \begin{Bmatrix} \eta_1 \\ \xi_1 \end{Bmatrix} + \begin{Bmatrix} \eta_2 \\ \xi_2 \end{Bmatrix} \quad (5.1)$$

biiminde ikiye ve sonra bunlar da ayrı ayrı tekrar

$$\begin{Bmatrix} \eta_1 \\ \xi_1 \end{Bmatrix} = \begin{Bmatrix} \eta_1 \\ \xi_1 \end{Bmatrix}_{\text{deniz}} + \begin{Bmatrix} \eta_1 \\ \xi_1 \end{Bmatrix}_{\text{kara}} \quad (5.2)$$

$$\begin{Bmatrix} \eta_2 \\ \xi_2 \end{Bmatrix} = \begin{Bmatrix} \eta_2 \\ \xi_2 \end{Bmatrix}_{\text{deniz}} + \begin{Bmatrix} \eta_2 \\ \xi_2 \end{Bmatrix}_{\text{kara}} \quad (5.3)$$

olarak ikiye ayrılabilirler. Burada

$$\begin{Bmatrix} \eta_1 \\ \xi_1 \end{Bmatrix}_{\text{deniz}} = -\frac{k}{G} \cdot (\rho_w - \rho_o) \iint_C \left[\int_{-h}^0 \frac{r}{r^3} (M+z)(N+z) \begin{Bmatrix} \sin \alpha \\ \cos \alpha \end{Bmatrix} dz \right] \cdot dC \quad (5.4)$$

ile belirlidir. (5.2) ve (5.3) eŝitliklerinin saę tarafındaki dięer terimler benimsenecek izostasi sistemine g-

re değişik olacaklardır. Eğer Pratt-Hayford sistemi benimse-
necek olursa

$$\left\{ \begin{array}{l} \eta_1 \\ \xi_1 \end{array} \right\}_{\text{kara}} = -\frac{k}{G} \cdot \rho_0 \cdot \iint_{C_{\text{kara}}} \frac{\bar{D}}{D+h} \left[\int_0^h \frac{r}{\ell^3} (M+z)(N+z) \left\{ \begin{array}{l} \sin \alpha \\ \cos \alpha \end{array} \right\} dz \right] dC \quad (5.5)$$

$$\left\{ \begin{array}{l} \eta_2 \\ \xi_2 \end{array} \right\}_{\text{deniz}} = \frac{k}{G} \cdot \Delta \rho_w \cdot \iint_{C_{\text{deniz}}} \frac{\bar{K}}{D-h} \left[\int_{-D}^{-h} \frac{r}{\ell^3} (M+z)(N+z) \left\{ \begin{array}{l} \sin \alpha \\ \cos \alpha \end{array} \right\} dz \right] dC \quad (5.6)$$

$$\left\{ \begin{array}{l} \eta_2 \\ \xi_2 \end{array} \right\}_{\text{kara}} = \frac{k}{G} \cdot \rho_0 \cdot \iint_{C_{\text{kara}}} \frac{\bar{h}}{D+h} \left[\int_{-D}^0 \frac{r}{\ell^3} (M+z)(N+z) \left\{ \begin{array}{l} \sin \alpha \\ \cos \alpha \end{array} \right\} dz \right] dC \quad (5.7)$$

ile ve eğer Airy-Heiskanen sistemi benimsenecek olursa

$$\left\{ \begin{array}{l} \eta_1 \\ \xi_1 \end{array} \right\}_{\text{kara}} = -\frac{k}{G} \cdot \rho_0 \cdot \iint_{C_{\text{kara}}} \left[\int_0^h \frac{r}{\ell^3} (M+z)(N+z) \left\{ \begin{array}{l} \sin \alpha \\ \cos \alpha \end{array} \right\} dz \right] dC \quad (5.8)$$

$$\left\{ \begin{array}{l} \eta_2 \\ \xi_2 \end{array} \right\}_{\text{deniz}} = +\frac{k}{G} \cdot \Delta \rho_1 \cdot \iint_{C_{\text{deniz}}} \left[\int_{-T}^{-t} \frac{r}{\ell^3} (M+z)(N+z) \left\{ \begin{array}{l} \sin \alpha \\ \cos \alpha \end{array} \right\} dz \right] dC \quad (5.9)$$

$$\left\{ \begin{array}{l} \eta_2 \\ \xi_2 \end{array} \right\}_{\text{kara}} = -\frac{k}{G} \cdot \Delta \rho_1 \cdot \iint_{C_{\text{kara}}} \left[\int_{-(T+t)}^{-T} \frac{r}{\ell^3} (M+z)(N+z) \left\{ \begin{array}{l} \sin \alpha \\ \cos \alpha \end{array} \right\} dz \right] dC \quad (5.10)$$

ile belirlidirler. Bu eşitlikler, Pratt-Hayford sistemi be-
nimsenerek;

- a) karalarda deniz seviyesinin üstündeki ρ yoğunluk-
lu kitleler alınır ve yoğunluğu ρ_w olan deniz-
ler ρ_0 yoğunluğuna gelecek şekilde doldurulursa,
- b) karalarda deniz seviyesinin üstünden alınan kitle-
ler hemen altlarındaki deniz seviyesiyle denge yü-
zeyi arasına orada da yoğunluk ρ_0 olacak şekilde
sıkıştırılırsa ve denizleri doldurmak için gerekli
olan kitleleri hemen altlarında deniz dibiyle denge

- yüzeyi arasındaki ρ' yoğunluklu kitleler ρ_0 yoğunluğuna gelecek şekilde gevşetilerek elde edilirse,
- c) denge yüzeyi altındaki kitleler eşpotansiyelli yüzeyleri birer dönел elipsoid biçiminde oluşturulacak yoğunluk dağılımına sahip iseler,
- ya da Airy-Heiskanen sistemi benimsenerek;
- a) karalarda deniz seviyesinin üstündeki ρ_0 yoğunluklu kitleler alınır ve yoğunluğu ρ_w olan denizler ρ_0 yoğunluğuna gelecek şekilde doldurulursa,
- b) karalarda deniz seviyesinin üstünden alınan kitleler hemen altlarındaki ρ_0 yoğunluklu köklere sıkıştırılarak bunların yoğunlukları ρ_1 yapılırsa ve denizleri doldurmak için gerekli olan kitleler hemen altlarındaki ρ_1 yoğunluklu antiköklerin yoğunluğu ρ_0 olacak şekilde gevşetilerek elde edilirse,
- e) katı yerkabuğu altındaki kitleler eşpotansiyelli yüzeyleri birer dönел elipsoid biçiminde oluşturacak yoğunluk dağılımına sahip iseler,
- jeoid ortalama yer elipsoidine dönüşürdü varsayımlarına dayanır ve hem topoğrafik hem de izostatik çekül sapmalarını içerirler.

Jeodezik koordinatları λ, φ, z olan bir hacim elemanın koordinatları $\lambda_0, \varphi_0, h_0$ olan bir P noktasındaki e, m, n yerel koordinat sisteminde koordinatları

$$e = \ell \sin \alpha \sin \beta = r \sin \alpha = (N+z) \cos \varphi \sin \Delta \lambda \quad (5.11)$$

$$m = \ell \cos \alpha \sin \beta = r \cos \alpha = (N+z) \left[\sin \varphi \cos \varphi_0 - \cos \varphi \sin \varphi_0 \cos \Delta \lambda \right] - e^2 \cos \varphi_0 \left[N \sin \varphi - N_0 \sin \varphi_0 \right] \quad (5.12)$$

$$n = \ell \cos \beta = r \cos \beta = (N+z) \left[\sin \varphi \sin \varphi_0 + \cos \varphi \cos \varphi_0 \cos \Delta \lambda \right] - e^2 \sin \varphi_0 \left[N \sin \varphi - N_0 \sin \varphi_0 \right] - (N_0 + h_0) \quad (5.13)$$

eşitlikleri ile belirlidir. Burada geçen $\Delta\lambda$ ve N_0

$$\Delta\lambda = \lambda - \lambda_0 ,$$

$$N_0 = a / (1 - e^2 \sin^2 \varphi_0)^{1/2}$$

olarak konmalıdır; r , ρ , $\sin \alpha$, $\cos \alpha$ ise

$$r = (e^2 + m^2)^{1/2} \quad (5.14)$$

$$\rho^3 = (r^2 + n^2)^{3/2} \quad (5.15)$$

$$\sin \alpha = e/r \quad (5.16)$$

$$\cos \alpha = m/r \quad (5.17)$$

olarak (5.11) ve (5.12) eşitliklerinden kolayca bulunur. Bunlar jeodetik koordinatlar cinsinden elde edilip yüzey elemanı $dC = \cos \varphi d\varphi d\lambda$ ile birlikte yukarıdaki eşitliklerde yerlerine konursa ilişkin integral formülleri açık bir biçimde tanımlanmış olurlar. Söz konusu P noktası jeoid üstünde alınacağından h_0 yerine de P noktasının jeoid yüksekliğini koymak yeterli olur.

Gerek kaldırılan gerekse doldurulan kitlelerin etkilerinin uzaklıkla ters orantılı oldukları formüllerde açıkça görülmektedir. Başka bir deyişle, belirli uzaklıklardan ötedeki kitleler pratik anlamda etkinliklerini yitirmektedir. Bu nedenle uygulamada çoğunlukla integraller yeryüzünün tamamı için değil de sınırlı bir uzaklığa kadar alınır. Böylesi sınırlı bir uzaklık içindeki bölgede yukarıdaki formüller için küresel yaklaşım hatta çok yakın çevre için düzlem yaklaşım bile uygulanabilir.

K ü r e s e l Y a k l a ş ı m : Elipsoidin eğrilik yarıçapları M ve N yerine ortalama bir R ile

$$(N+z) \approx (M+z) \approx (R+z) , \quad (5.18)$$

$$r \sin \alpha = R \left(1 + \frac{z}{R}\right) \cos \varphi \sin \Delta \lambda \quad (5.19)$$

$$r \cos \alpha = R \left(1 + \frac{z}{R}\right) (\sin \varphi \cos \varphi_0 - \cos \varphi \sin \varphi_0 \cos \Delta \lambda) \quad (5.20)$$

$$\ell \cos \beta = R \left[\left(1 + \frac{z}{R}\right) (\sin \varphi \sin \varphi_0 + \cos \varphi \cos \varphi_0 \cos \Delta \lambda) - \left(1 + \frac{h_0}{R}\right) \right] \quad (5.21)$$

yazılabilir. Böylece integral altındaki ifade için de

$$\frac{r}{\ell^3} (M+z) \cdot (N+z) \begin{Bmatrix} \sin \alpha \\ \cos \alpha \end{Bmatrix} \approx \frac{R^2 \left(1 + \frac{z}{R}\right)^2}{\ell^3} \begin{Bmatrix} r \sin \alpha \\ r \cos \alpha \end{Bmatrix}, \quad (5.22)$$

$$\ell \approx R \cdot \left[\left(1 + \frac{z}{R}\right)^2 - 2 \left(1 + \frac{z}{R}\right) \left(1 + \frac{h_0}{R}\right) (\sin \varphi \sin \varphi_0 + \cos \varphi \cos \varphi_0 \cos \Delta \lambda) + \left(1 + \frac{h_0}{R}\right)^2 \right]^{1/2} \quad (5.23)$$

konabilir. Ayrıca (4.4), (4.5), (4.6), (4.14), (4.15) eşitlikleri de

$$\bar{h} = h \cdot \left(1 + \frac{h}{R} + \frac{h^2}{3R^2}\right) \quad (5.24)$$

$$\bar{D} = D \cdot \left(1 - \frac{D}{R} + \frac{D^2}{3R^2}\right) \quad (5.25)$$

$$\bar{h}' = h' \cdot \left(1 - \frac{h'}{R} + \frac{h'^2}{3R^2}\right) \quad (5.26)$$

$$\bar{t} = t \cdot \left(1 - \frac{2T+t}{R} + \frac{3T^2+3Tt+t^2}{3R^2}\right) \quad (5.27)$$

$$\bar{t}' = t' \cdot \left(1 - \frac{2T-t'}{R} + \frac{3T^2-3Tt'+t'^2}{3R^2}\right) \quad (5.28)$$

olarak alınmalıdır.

Düzlem Yaklaşım : (5.11) ve (5.12) eşitliklerinden

$$de = (N+z) \cdot \cos \varphi \cdot d\lambda \quad (5.29)$$

$$dm = (M+z) \cdot d\varphi \quad (5.30)$$

ve dolayısıyla

$$dC = \cos \varphi \cdot d\varphi \cdot d\lambda = \frac{de \cdot dm}{(N+z)(M+z)} = \frac{dA}{(N+z)(M+z)} \quad (5.31)$$

$$dA = de \cdot dm \quad (5.32)$$

yazılabilir. (5.31) eşitliği integrallerde yerine konur, sonra da $M = N = \infty$ alınırsa dC 'nin yerini görünüm olarak dA alır ve integral altındaki ifade

$$\frac{1}{\ell^3} \begin{Bmatrix} r \sin \alpha \\ r \cos \alpha \end{Bmatrix} \quad \text{ya da} \quad \frac{1}{(e^2 + m^2 + n^2)^{3/2}} \begin{Bmatrix} e \\ m \end{Bmatrix} \quad (5.33)$$

biçimine girer. Bu yaklaşımda da $\bar{h} = h$, $\bar{D} = D$, $\bar{h}' = h'$, $\bar{t} = t$, $\bar{t}' = t'$ olur.

Her iki yaklaşımda da h yükseklikleri ve h' derinlikleri sayısal olarak deniz seviyesine göre alınırsa sonuca ait sayısal değerler daha gerçekçi olurlar. Başka bir deyişle, böylece oynanan kitleler gerçekçi yalnızca uzaklık ve doğrultular yaklaşık alınmış olunur.

6 - İ n t e g r a l F o r m ü l l e r i n i n

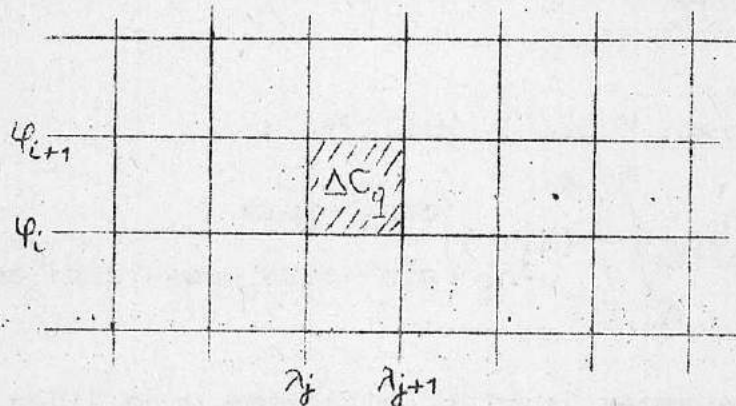
P r a t i k A  ı n ı m l a r ı :

Bu amaçla jeoid yüzü uygun ΔC_q büyüklüğünde uzay açılılarıyla sonlu bölmelere ayrılır. Her bölmede arazinin yüksekliği ya da denizin derinliği sabit kabul edilip uygun ölçekli bir yükselti haritasından ortalama h_q kara yüksekliği ya da bir derinlik haritasından h'_q derinliği tahmin edilir. Böylece jeoid dışındaki kitleler ve denizleri dolduran sular sonlu parçacıklara ayrılmış olur. İlişkin integral formüllerinde kendisine ait sınır değerleri ile bir sonlu parçacığın payına düşen $\Delta \eta$, $\Delta \xi$ büyüklükleri hesaplanır. Bunların

$$\left\{ \begin{array}{c} \eta \\ \xi \end{array} \right\}_{\text{top-izo}} = \sum \left[\left\{ \begin{array}{c} \Delta \eta_1 \\ \Delta \xi_1 \end{array} \right\} + \left\{ \begin{array}{c} \Delta \eta_2 \\ \Delta \xi_2 \end{array} \right\} \right] \quad (6.1)$$

biçiminde toplamlarının alınmasıyla sonuca ulaşılır. Sonlu parçacıkların biçimleri, seçilecek hacim elemanına bağlıdır. Pratikte koşullara bağlı olarak aşağıdaki iki yöntemden birisi uygulanır.

İ s k a r a Y ö n t e m i : Bu yöntem hacim elemanı Şekil 3.3'de görüldüğü gibi seçilirse uygulanır. ΔC_q uzay açısı ile sınırlı, jeoid yüzündeki sonlu bölmeler ıskarayı andıran coğrafik koordinat çizgileri ile elde edilir. (Şekil 6.1). İlişkin integral formüllerinde, yüzey elemanı dC



Şekil 6.1

Iskara yönteminde bölmeler

(3.16) eşitliğinde verildiği gibi alınmalıdır. Böylece q indisli bir parçacık eğer kara ise $\Delta_q \eta_1, \Delta_q \eta_2, \Delta_q \bar{\eta}_1, \Delta_q \bar{\eta}_2$ yalnız kara formülleriyle $h = h_q$ alınarak, eğer deniz ise bunlar yalnız deniz formülleriyle $K = K_q$ alınarak hesaplanır. İster kara ister deniz olsun yüzey integratine

$$\iint_{\Delta C_q} = \int_{\lambda_j}^{\lambda_{j+1}} \int_{\varphi_i}^{\varphi_{i+1}} \quad (6.2)$$

olarak sınır verilir.

Küresel yaklaşım formülleri: (5.19), (5.20), (5.22) ve (5.23) eşitliklerinden

$$\int \frac{r}{L^3} (N+z)(N+z) \begin{Bmatrix} \sin \alpha \\ \cos \alpha \end{Bmatrix} dz \approx \begin{Bmatrix} \cos \varphi \sin \Delta \lambda \\ \sin \varphi \cos \varphi_0 - \cos \varphi \sin \varphi_0 \cos \Delta \lambda \end{Bmatrix} \int \frac{(1+\frac{z}{R})^3}{L^3} dz, \quad (6.3)$$

$$L^2 = (1+\frac{z}{R})^2 - 2(1+\frac{z}{R})(1+\frac{h_0}{R})(\sin \varphi \sin \varphi_0 + \cos \varphi \cos \varphi_0 \cos \Delta \lambda) + (1+\frac{h_0}{R})^2$$

olarak yazılır. Belirsiz integral

$$Z = \int \frac{(1+\frac{z}{R})^3}{L^3} dz \quad (6.4)$$

ile gösterilirse, (5.4) eşitliğinden

$$\begin{Bmatrix} \Delta_q \eta_1 \\ \Delta_q \bar{\eta}_1 \end{Bmatrix}_{\text{deniz}} = -\frac{k}{G} \Delta \rho_w \int_{\lambda_j}^{\lambda_{j+1}} \int_{\varphi_i}^{\varphi_{i+1}} \begin{Bmatrix} (Z|_0^0) \cos \varphi \cdot \sin \Delta \lambda \\ -h'_q \sin \varphi \cdot \cos \varphi_0 - \cos \varphi \cdot \sin \varphi_0 \cos \Delta \lambda \end{Bmatrix} \cdot \cos \varphi \, d\varphi \, d\lambda \quad (6.5)$$

yazılır. Benimsenecek izostasi sistemine göre diğer terim-

ler de, eğer Pratt-Hayford sistemi benimsemiş ise (5.5), (5.6), (5.7) eşitliklerinden $[\bar{h}_q, \bar{D}, \bar{h}'_q$ (5.24), (5.25) ve (5.26) ile verildikleri biçimleriyle]

$$\begin{Bmatrix} \Delta_q \eta_1 \\ \Delta_q \xi_1 \end{Bmatrix}_{\text{kara}} = - \frac{k}{G} \rho_0 \frac{\bar{D}}{\bar{D} + \bar{h}_q} \int_{\lambda_j}^{\lambda_{j+1}} \int_{\varphi_i}^{\varphi_{i+1}} \begin{pmatrix} Z \\ h_q \\ 0 \end{pmatrix} \begin{Bmatrix} S \\ C \end{Bmatrix} \cos \varphi \cdot d\varphi \cdot d\lambda \quad (6.6)$$

$$\begin{Bmatrix} \Delta_q \eta_2 \\ \Delta_q \xi_2 \end{Bmatrix}_{\text{deniz}} = \frac{k}{G} \Delta \rho_w \frac{\bar{h}'_q}{\bar{D} - \bar{h}'_q} \int_{\lambda_j}^{\lambda_{j+1}} \int_{\varphi_i}^{\varphi_{i+1}} \begin{pmatrix} Z \\ -h_q \\ -D \end{pmatrix} \begin{Bmatrix} S \\ C \end{Bmatrix} \cos \varphi \cdot d\varphi \cdot d\lambda \quad (6.7)$$

$$\begin{Bmatrix} \Delta_q \eta_2 \\ \Delta_q \xi_2 \end{Bmatrix}_{\text{kara}} = \frac{k}{G} \rho_0 \frac{\bar{h}_q}{\bar{D} + \bar{h}_q} \int_{\lambda_j}^{\lambda_{j+1}} \int_{\varphi_i}^{\varphi_{i+1}} \begin{pmatrix} Z \\ 0 \\ -D \end{pmatrix} \begin{Bmatrix} S \\ C \end{Bmatrix} \cos \varphi \cdot d\varphi \cdot d\lambda \quad (6.8)$$

ve eğer Airy-Heiskanen sistemi benimsemiş ise (5.8), (5.9), (5.10) eşitliklerinden $[t_q$ ve t'_q (5.27), (5.28) yardımıyla (4.12) ve (4.13) eşitliklerinden h_q ve h'_q cinsinden elde edilerek]

$$\begin{Bmatrix} \Delta_q \eta_1 \\ \Delta_q \xi_1 \end{Bmatrix}_{\text{kara}} = - \frac{k}{G} \rho_0 \int_{\lambda_j}^{\lambda_{j+1}} \int_{\varphi_i}^{\varphi_{i+1}} \begin{pmatrix} Z \\ h_q \\ 0 \end{pmatrix} \begin{Bmatrix} S \\ C \end{Bmatrix} \cos \varphi \cdot d\varphi \cdot d\lambda \quad (6.9)$$

$$\begin{Bmatrix} \Delta_q \eta_2 \\ \Delta_q \xi_2 \end{Bmatrix}_{\text{deniz}} = + \frac{k}{G} \Delta \rho_1 \int_{\lambda_j}^{\lambda_{j+1}} \int_{\varphi_i}^{\varphi_{i+1}} \begin{pmatrix} Z \\ -(T - t_q) \\ T \end{pmatrix} \begin{Bmatrix} S \\ C \end{Bmatrix} \cos \varphi \cdot d\varphi \cdot d\lambda \quad (6.10)$$

$$\begin{Bmatrix} \Delta_q \eta_2 \\ \Delta_q \xi_2 \end{Bmatrix}_{\text{deniz}} = - \frac{k}{G} \Delta \rho_1 \int_{\lambda_j}^{\lambda_{j+1}} \int_{\varphi_i}^{\varphi_{i+1}} \begin{pmatrix} Z \\ T \\ -(T + t_q) \end{pmatrix} \begin{Bmatrix} S \\ C \end{Bmatrix} \cos \varphi \cdot d\varphi \cdot d\lambda \quad (6.11)$$

olarak yazılır. Bu eşitliklerdeki S ve C

$$\begin{Bmatrix} S \\ C \end{Bmatrix} = \begin{Bmatrix} \cos \varphi \sin \Delta \lambda \\ \sin \varphi \cos \varphi_0 - \cos \varphi \sin \varphi_0 \cos \Delta \lambda \end{Bmatrix}$$

anlamına kullanılmıştır.

Düzlem yaklaşım formülleri : Bu yaklaşımda düzlem kabul edilen jeoidin yüzünde bölmeler coğrafik koordinat çizgileriyle değil bir x,y dik koordinat sisteminin koordinat çizgileriyle elde edilir. Bu kez yüzey elemanı $dA = dx \cdot dy$ ile

$$\iint \Delta A_q = \int_{x_j}^{x_{j+1}} \int_{y_i}^{y_{i+1}} \quad (6.12)$$

olur. P noktasının koordinatları $x', y', z' = h_0 = 0$ ve hacim elemanının koordinatları x, y, z ile

$$r \sin \alpha = x - x' = \Delta x \quad (6.13)$$

$$r \cos \alpha = y - y' = \Delta y \quad (6.14)$$

$$r^2 = (x - x')^2 + (y - y')^2 = \Delta x^2 + \Delta y^2 \quad (6.15)$$

$$\rho^2 = r^2 + z^2 \quad (6.16)$$

olur. Böylece

$$\int \frac{1}{\rho^3} \left\{ \begin{matrix} r \sin \alpha \\ r \cos \alpha \end{matrix} \right\} dz = \left\{ \begin{matrix} \Delta x \\ \Delta y \end{matrix} \right\} \int \frac{dz}{(r^2 + z^2)^{3/2}} = \left\{ \begin{matrix} \Delta x \\ \Delta y \end{matrix} \right\} \frac{z}{r^2 \cdot \rho} \quad (6.17)$$

bulunur. (5.4) eşitliğinden $\bar{h}'_q = h'_q$ ile

$$\left\{ \begin{matrix} \Delta q \eta_1 \\ \Delta q \xi_1 \end{matrix} \right\}_{\text{deniz}} = - \frac{k}{G} \cdot \Delta \rho_w \cdot h'_q \int_{x_j}^{x_{j+1}} \int_{y_i}^{y_{i+1}} \frac{1}{r^2 (r^2 + h_q^2)^{1/2}} \left\{ \begin{matrix} \Delta x \\ \Delta y \end{matrix} \right\} dy \cdot dx \quad (6.18)$$

olur. Benimsenecek izostasi sistemine göre diğer terimler de, eğer Pratt-Hayford sistemi benimsenmiş ise (5.5), (5.6) ve (5.7) eşitliklerinden $\bar{h}_q = h_q$, $\bar{D} = D$ ve $\bar{h}'_q = h'_q$ ile]

$$\left\{ \begin{matrix} \Delta q \eta_1 \\ \Delta q \xi_1 \end{matrix} \right\}_{\text{kara}} = - \frac{k}{G} \cdot \rho_0 \frac{D}{D+h_q} \cdot h'_q \int_{x_j}^{x_{j+1}} \int_{y_i}^{y_{i+1}} \frac{1}{r^2 (r^2 + h_q^2)^{1/2}} \left\{ \begin{matrix} \Delta x \\ \Delta y \end{matrix} \right\} dy \cdot dx \quad (6.19)$$

$$\left\{ \begin{array}{l} \Delta q \eta_2 \\ \Delta q \xi_2 \end{array} \right\}_{\text{deniz}} = \frac{k}{G} \Delta \rho_w \frac{h'_q}{D-h'_q} \int_{x_j}^{x_{j+1}} \int_{y_l}^{y_{l+1}} \left[\frac{D}{r^2 (r^2+D^2)^{1/2}} - \frac{h_q}{r^2 (r^2+h_q^2)^{1/2}} \right] \left\{ \begin{array}{l} \Delta x \\ \Delta y \end{array} \right\} dy \cdot dx \quad (6.20)$$

$$\left\{ \begin{array}{l} \Delta q \eta_2 \\ \Delta q \xi_2 \end{array} \right\}_{\text{kara}} = \frac{k}{G} \rho_0 \frac{h_q}{D+h_q} D \int_{x_j}^{x_{j+1}} \int_{y_l}^{y_{l+1}} \frac{1}{r^2 (r^2+D^2)^{1/2}} \left\{ \begin{array}{l} \Delta x \\ \Delta y \end{array} \right\} dy \cdot dx \quad (6.21)$$

ve Airy-Heiskanen sistemi benimsenmiş ise (5.8), (5.9) ve (5.10) eşitliklerinden $[t_q$ ve t'_q , $\bar{h}_q = h_q$, $\bar{h}'_q = h'_q$ ile (4.12), (4.13) eşitliklerinden elde edilerek]

$$\left\{ \begin{array}{l} \Delta q \eta_1 \\ \Delta q \xi_1 \end{array} \right\}_{\text{kara}} = - \frac{k}{G} \rho_0 h_q \int_{x_j}^{x_{j+1}} \int_{y_l}^{y_{l+1}} \frac{1}{r^2 (r^2+h_q^2)^{1/2}} \left\{ \begin{array}{l} \Delta x \\ \Delta y \end{array} \right\} dy \cdot dx \quad (6.22)$$

$$\left\{ \begin{array}{l} \Delta q \eta_2 \\ \Delta q \xi_2 \end{array} \right\}_{\text{deniz}} = + \frac{k}{G} \Delta \rho_1 \int_{x_j}^{x_{j+1}} \int_{y_l}^{y_{l+1}} \left[\frac{T}{r^2 (r^2+T^2)^{1/2}} - \frac{T-t'_q}{r^2 (r^2+(T-t'_q)^2)^{1/2}} \right] \left\{ \begin{array}{l} \Delta x \\ \Delta y \end{array} \right\} dy \cdot dx \quad (6.23)$$

$$\left\{ \begin{array}{l} \Delta q \eta_2 \\ \Delta q \xi_2 \end{array} \right\}_{\text{kara}} = - \frac{k}{G} \Delta \rho_1 \int_{x_j}^{x_{j+1}} \int_{y_l}^{y_{l+1}} \left[\frac{T+t_q}{r^2 (r^2+(T+t_q)^2)^{1/2}} - \frac{T}{r^2 (r^2+T^2)^{1/2}} \right] \left\{ \begin{array}{l} \Delta x \\ \Delta y \end{array} \right\} dy \cdot dx \quad (6.24)$$

olarak yazılırlar.

K a l ı p Y ö n t e m i : Bu yöntem küresel ya da düzlem yaklaşımlarında uygulanır. Hacim elemanının biçimi Şekil 6.2 de görüldüğü gibidir. ΔC_q uzay açısıyla sınırlı jeoid yüzündeki sonlu bölmeler Şekil 6.3'de görülen gibi bir kalıp yardımıyla elde edilir. Saydam bir altlığa çizilen kalıbın orta noktası harita üzerinde P noktasına konur ve y eksenini kuzeye yöneltilir. Böylece haritadan bir ΔC_q bölmesi için ortalama h_q arazi yüksekliği ya da h'_q deniz derinliği tahmin edilir. Kalıp hazırlanırken uygun yarıçaplı dairelerle kuşaklar ve uygun azimutlu doğrularla da dilimler oluşturulur. Sonlu ΔC_q bölmeleri bir kuşak ile bir dilimin ortak kısmıdır. Şekil 6.3 de görüldüğü gibi her kuşak için gerekirse ayrı sayıda dilim oluşturulabilir.

Küresel yaklaşım formülleri: P noktasına göre hacim elemanının koordinatları ψ, α, z alınır. Buradaki ψ hacim elemanının P'ye olan küresel uzaklığıdır. P noktasının küredeki izdüşümü Q, hacim elemanının ki Q ve kuzey kutup noktası Şekil 6.4'de görülen küresel üçgeni oluşturur. Ayrıca Şekil 6.5 P noktası ile hacim elemanını içeren düşey düzlemi göstermektedir. Anılan şekillerden ve (5.19), (5.20) ve (5.21) eşitliklerinden

$$e = l \sin \alpha \sin \beta = r \sin \alpha = R \left(1 + \frac{z}{R}\right) \sin \psi \sin \alpha \quad (6.25)$$

$$m = l \cos \alpha \sin \beta = r \cos \alpha = R \left(1 + \frac{z}{R}\right) \sin \psi \cos \alpha \quad (6.26)$$

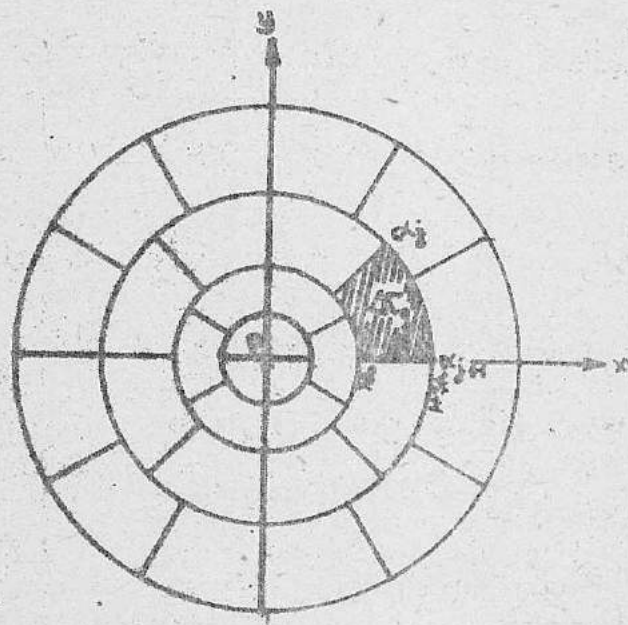
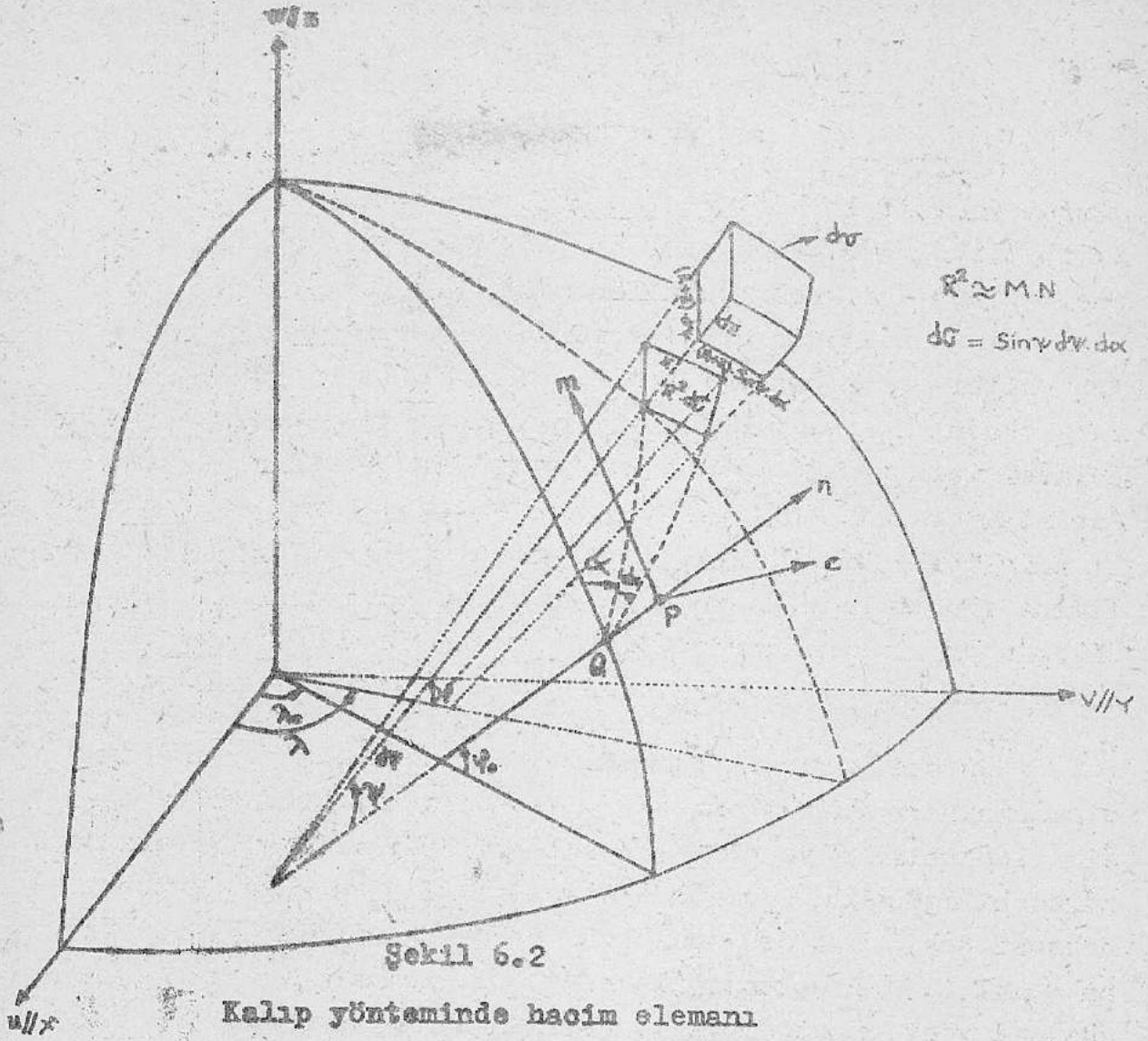
$$n = l \cos \beta = l \cos \beta = R \left[\left(1 + \frac{z}{R}\right) \cos \psi - \left(1 + \frac{h_0}{R}\right) \right] \quad (6.27)$$

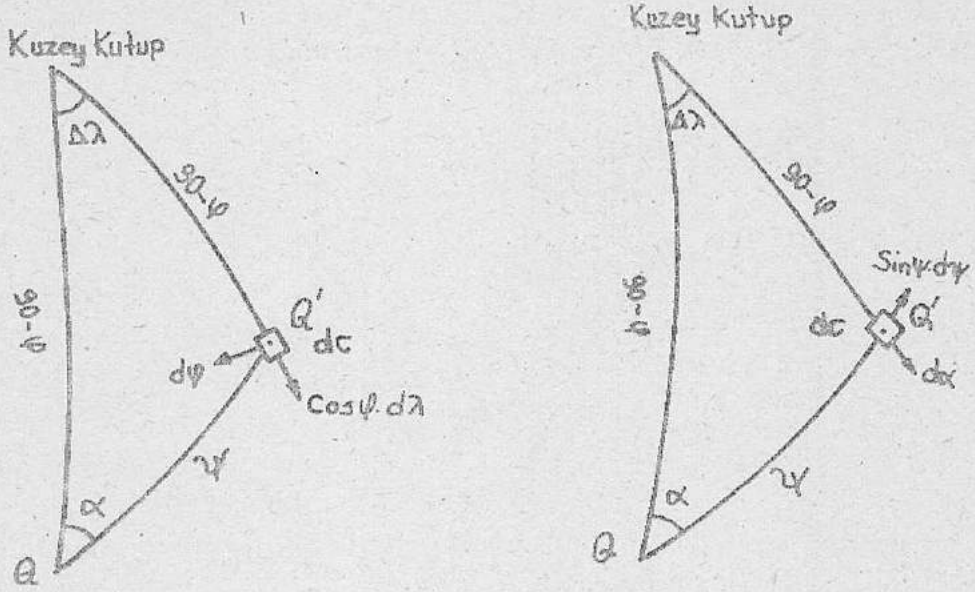
yazılabilir. İlişkin integral formüllerinde yüzey elemanı dc

$$dc = \sin \psi \cdot d\psi \cdot d\alpha \quad (6.28)$$

olarak alınmalıdır. Böylece

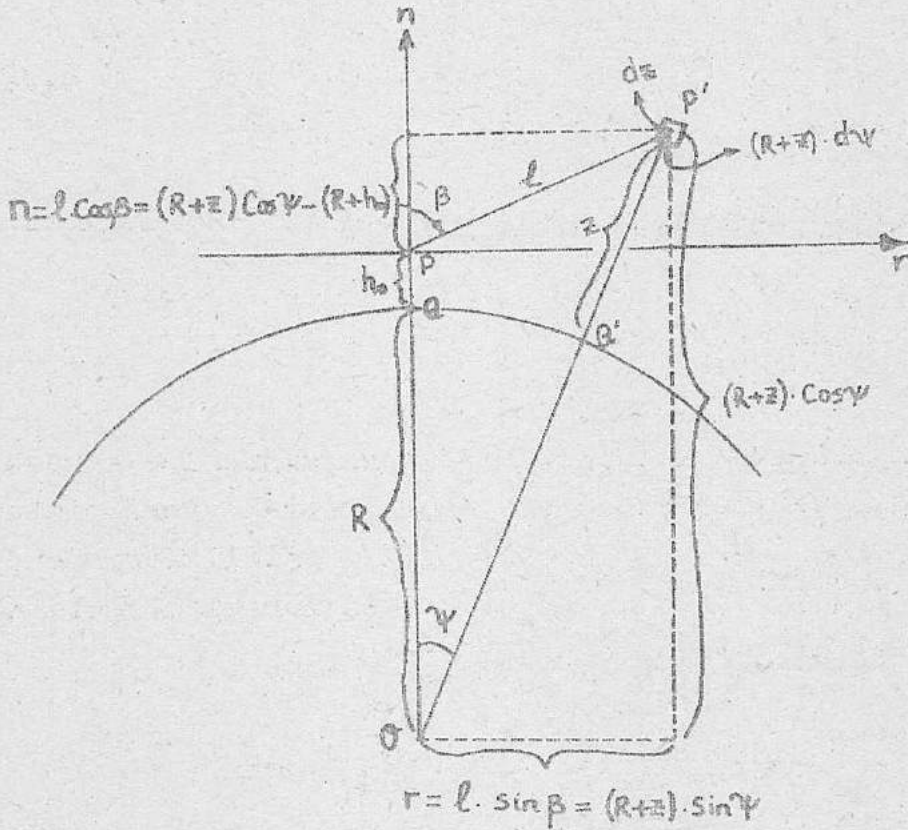
$$\iint_{\Delta C_q} = \int_{\alpha_j}^{\alpha_{j+1}} \int_{\psi_i}^{\psi_{i+1}} \quad (6.29)$$





Şekil 6.4

Birim kürede küresel üçgenin elemanları ve yüzey elemanı



Şekil 6.5

Küresel kutupsal, yerel kutupsal ve yerel dik koordinatlar arasındaki ilişkiler

olur. Iskara yöntemindeki (6.3) eşitliği

$$\int \frac{r}{R^3} (M+z)(N+z) \begin{Bmatrix} \sin \alpha \\ \cos \alpha \end{Bmatrix} dz = \begin{Bmatrix} S \\ C \end{Bmatrix} \cdot \int \frac{dz}{L^3} \quad (6.30)$$

biçiminde yazılır ve bu kez

$$S = \sin \psi \sin \alpha$$

$$C = \sin \psi \cos \alpha$$

$$L^2 = \left(1 + \frac{z}{R}\right)^2 - 2\left(1 + \frac{z}{R}\right)\left(1 + \frac{h_0}{R}\right) \cos \psi + \left(1 + \frac{h_0}{R}\right)^2$$

olarak tanımlanır. Belirsiz integral yine

$$Z = \int \frac{dz}{L^3} \quad (6.31)$$

ile gösterilerek (5.4) eşitliğinden

$$\begin{Bmatrix} \Delta_{q\gamma} \\ \Delta_{q\bar{\gamma}} \end{Bmatrix}_{\text{deniz}} = -\frac{k}{G} \Delta \rho_w \begin{Bmatrix} C(\alpha) \\ S(\alpha) \end{Bmatrix} \int_{\psi_i}^{\psi_{i+1}} \left(Z \begin{Bmatrix} 0 \\ -h_q \end{Bmatrix} \right) \sin^2 \psi \, d\psi \quad (6.32)$$

yazılır. Bu eşitlikte geçen $C(\alpha)$ ve $S(\alpha)$ büyüklükleri de

$$C(\alpha) = \cos \alpha_j - \cos \alpha_{j+1}$$

$$S(\alpha) = \sin \alpha_{j+1} - \sin \alpha_j$$

ile belirlidirler. Benimsenecek izostasi sistemine göre bulunacak diğer terimlere gelince, eğer Pratt-Hayford sistemi benimsenmiş ise (5.5), (5.6), (5.7) eşitliklerinden $[\bar{h}_q, \bar{D}, \bar{h}_q; (5.24), (5.25), (5.26)$ eşitlikleriyle verildikleri biçimde olmak üzere]

$$\begin{Bmatrix} \Delta_{q\gamma} \\ \Delta_{q\bar{\gamma}} \end{Bmatrix}_{\text{kora}} = -\frac{k}{G} \rho_0 \frac{\bar{D}}{\bar{D} + \bar{h}_q} \begin{Bmatrix} C(\alpha) \\ S(\alpha) \end{Bmatrix} \int_{\psi_i}^{\psi_{i+1}} \left(Z \begin{Bmatrix} -h_q \\ 0 \end{Bmatrix} \right) \sin^2 \psi \, d\psi \quad (6.33)$$

$$\begin{Bmatrix} \Delta_q \eta_2 \\ \Delta_q \xi_2 \end{Bmatrix}_{\text{deniz}} = \frac{k}{G} \cdot \frac{\Delta \rho}{w} \cdot \frac{\bar{h}_q}{D - \bar{h}_q} \begin{Bmatrix} C(\alpha) \\ S(\alpha) \end{Bmatrix} \int_{\psi_i}^{\psi_{i+1}} \begin{pmatrix} -h_q \\ Z \\ -D \end{pmatrix} \sin^2 \psi \cdot d\psi \quad (6.34)$$

$$\begin{Bmatrix} \Delta_q \eta_2 \\ \Delta_q \xi_2 \end{Bmatrix}_{\text{kara}} = \frac{k}{G} \cdot \rho_0 \cdot \frac{\bar{h}_q}{D + \bar{h}_q} \begin{Bmatrix} C(\alpha) \\ S(\alpha) \end{Bmatrix} \int_{\psi_i}^{\psi_{i+1}} \begin{pmatrix} 0 \\ Z \\ -D \end{pmatrix} \sin^2 \psi \cdot d\psi \quad (6.35)$$

eğer Airy-Heiskanen sistemi benimsenecek olursa (5.8) , (5.9) ve (5.10) eşitliklerinden t_q ve t'_q ; (5.27) , (5.28) ve (5.29) eşitlikleriyle h_q ve h'_q cinsinden bulunarak

$$\begin{Bmatrix} \Delta_q \eta_1 \\ \Delta_q \xi_1 \end{Bmatrix}_{\text{kara}} = - \frac{k}{G} \cdot \rho_0 \begin{Bmatrix} C(\alpha) \\ S(\alpha) \end{Bmatrix} \int_{\psi_i}^{\psi_{i+1}} \begin{pmatrix} h_q \\ Z \\ 0 \end{pmatrix} \sin^2 \psi \cdot d\psi \quad (6.36)$$

$$\begin{Bmatrix} \Delta_q \eta_2 \\ \Delta_q \xi_2 \end{Bmatrix}_{\text{deniz}} = + \frac{k}{G} \cdot \Delta \rho_1 \begin{Bmatrix} C(\alpha) \\ S(\alpha) \end{Bmatrix} \int_{\psi_i}^{\psi_{i+1}} \begin{pmatrix} -(T - t_q) \\ Z \\ -T \end{pmatrix} \sin^2 \psi \cdot d\psi \quad (6.37)$$

$$\begin{Bmatrix} \Delta_q \eta_2 \\ \Delta_q \xi_2 \end{Bmatrix}_{\text{kara}} = - \frac{k}{G} \cdot \Delta \rho_1 \begin{Bmatrix} C(\alpha) \\ S(\alpha) \end{Bmatrix} \int_{\psi_i}^{\psi_{i+1}} \begin{pmatrix} -T \\ Z \\ -(T + t_q) \end{pmatrix} \sin^2 \psi \cdot d\psi \quad (6.38)$$

yazılır.

Düzlem yaklaşım formülleri: Hacim elemanının koordinatları bu kez r , α , z alınır. Ayrıca integral formüllerinde yüzey elemanı dA

$$dA = r \cdot dr \cdot d\alpha \quad (6.39)$$

olup

$$\iiint_{\Delta \Lambda_q} = \int_{\alpha_j}^{\alpha_{j+1}} \int_{r_i}^{r_{i+1}} \quad (6.40)$$

alınır. Iskara yöntemindeki (6.17) eşitliği ise

$$\begin{aligned} \int \frac{1}{r^3} \begin{Bmatrix} r \sin \alpha \\ r \cos \alpha \end{Bmatrix} dz &= \begin{Bmatrix} r \cdot \sin \alpha \\ r \cdot \cos \alpha \end{Bmatrix} \int \frac{dz}{(r^2+z^2)^{3/2}} \\ &= \frac{1}{r} \begin{Bmatrix} \sin \alpha \\ \cos \alpha \end{Bmatrix} \frac{z}{(r^2+z^2)^{1/2}} \end{aligned} \quad (6.41)$$

biçimine girer. Böylece (5.4) eşitliğinden

$$\begin{Bmatrix} \Delta q \eta 1 \\ \Delta q \xi 1 \end{Bmatrix}_{\text{deniz}} = -\frac{k}{G} \Delta \rho_w \cdot h'_q \begin{Bmatrix} C(\alpha) \\ S(\alpha) \end{Bmatrix} \int_{r_i}^{r_{i+1}} \frac{dr}{(r^2+h_q^2)^{1/2}} \quad (6.42)$$

olup, Pratt-Hayford sistemi benimsenecek olursa

$$\begin{Bmatrix} \Delta q \eta 1 \\ \Delta q \xi 1 \end{Bmatrix}_{\text{kara}} = -\frac{k}{G} \cdot \rho_o \cdot \frac{D}{D+h_q} \cdot h'_q \begin{Bmatrix} C(\alpha) \\ S(\alpha) \end{Bmatrix} \int_{r_i}^{r_{i+1}} \frac{dr}{(r^2+h_q^2)^{1/2}} \quad (6.43)$$

$$\begin{Bmatrix} \Delta q \eta 2 \\ \Delta q \xi 2 \end{Bmatrix}_{\text{deniz}} = \frac{k}{G} \Delta \rho_w \cdot \frac{h'_q}{D-h'_q} \begin{Bmatrix} C(\alpha) \\ S(\alpha) \end{Bmatrix} \int_{r_i}^{r_{i+1}} \left[\frac{D}{(r^2+D^2)^{1/2}} - \frac{h'_q}{(r^2+h_q^2)^{1/2}} \right] dr \quad (6.44)$$

$$\begin{Bmatrix} \Delta q \eta 2 \\ \Delta q \xi 2 \end{Bmatrix}_{\text{kara}} = \frac{k}{G} \cdot \rho_o \cdot \frac{h_q}{D+h_q} \cdot D \cdot \begin{Bmatrix} C(\alpha) \\ S(\alpha) \end{Bmatrix} \int_{r_i}^{r_{i+1}} \frac{dr}{(r^2+D^2)^{1/2}} \quad (6.45)$$

ve eğer Airy-Heiskanen sistemi benimsenecek olursa

$$\begin{Bmatrix} \Delta q \eta 1 \\ \Delta q \xi 1 \end{Bmatrix}_{\text{kara}} = -\frac{k}{G} \cdot \rho_o \cdot t_q \begin{Bmatrix} C(\alpha) \\ S(\alpha) \end{Bmatrix} \int_{r_i}^{r_{i+1}} \frac{dr}{(r^2+t_q^2)^{1/2}} \quad (6.46)$$

$$\begin{Bmatrix} \Delta q \eta 2 \\ \Delta q \xi 2 \end{Bmatrix}_{\text{deniz}} = +\frac{k}{G} \Delta \rho_1 \begin{Bmatrix} C(\alpha) \\ S(\alpha) \end{Bmatrix} \int_{r_i}^{r_{i+1}} \left[\frac{T}{(r^2+T^2)^{1/2}} - \frac{T-t_q}{[r^2+(T-t_q)^2]^{1/2}} \right] dr \quad (6.47)$$

$$\begin{Bmatrix} \Delta q \eta 2 \\ \Delta q \xi 2 \end{Bmatrix}_{\text{kara}} = -\frac{k}{G} \Delta \rho_1 \begin{Bmatrix} C(\alpha) \\ S(\alpha) \end{Bmatrix} \int_{r_i}^{r_{i+1}} \left[\frac{T+t_q}{[r^2+(T+t_q)^2]^{1/2}} - \frac{T}{(r^2+T^2)^{1/2}} \right] dr \quad (6.48)$$

yazılır. Yukarıdaki sonlu integraller

$$\int_{r_i}^{r_{i+1}} \frac{dr}{(r^2+z^2)^{1/2}} = \ln \frac{r_{i+1} + (r_{i+1}^2+z^2)^{1/2}}{r_i + (r_i^2+z^2)^{1/2}} \quad (6.49)$$

eşitliği ile kolayca bulunur.

K A Y N A K L A R :

BAESCHLIN, C.F. (1948): Lehrbuch der Geodäsie. Orell Füssli Verlag, Zürich

BOMFORD, G. (1971): Geodesy. Oxford University Press.

GORDON, R.B. (1972): Physics of the Earth. Holt, Rinehart and Winston, Inc.

HEISKANEN, W.A. - F.A. VENING MEINESZ: The Earth and Its Gravity Field. MacGraw-Hill, New York 1958

HEISKANEN, W.A. - H. MORITZ (1967): Physical Geodesy. Freeman and Company. San Francisco and London

HEITZ, S. (1966): Formeln zur Berechnung topographisch-isostatischer Reduktionen von Lotabweichungen auf der Grundlage geographischer Koordinaten. DGK, Reihe A, No 47

HEITZ, S. (1968): Geoidbestimmung durch Interpolation nach kleinsten Quadraten aufgrund gemessener und interpolierter Lotabweichungen. DGK, Reihe C, No 124

HELMERT, F.R. (1880): Die mathematischen und physikalischen Theorien der höheren Geodäsie. (B.G. Teubner Verlagsgesellschaft, Leipzig 1962)

JORDAN/EGGERT/KNEISSL (1969): Handbuch der Vermessungskunde, Band V. [K. LEDERSTEGGER: Astronomische und physikalische Geodäsie (Erdmessung) . Metzlersche Buchhandlung, Stuttgart]

KAULA, W.A. (1966): Theory of Satellite Geodesy. Blaisdell Publishing Co., London

KLERER, M. - F. GROSSMAN (1971): A New Table of Indefinite Integrals (Computer processed). Dover Pub., New York

MacDONALD, G.J.F. (1964): The Figure and Long-term Mechanical Properties of the Earth. Contribution to the International Conference on the Earth Sciences. M.I.T., September 1964

- MUELLER, I. I. (1964): Introduction to Satellite Geodesy.
Frederick Ungar Publishing Co., New York
- MUELLER, I. I. - J. D. ROCKIE (1966): Gravimetric and Celestial
Geodesy, A Glossary of Terms. Frederick Ungar Publish-
ing Co., New York
- MUELLER, I. I. (1969): Spherical and Practical Astronomy as
Applied to Geodesy. Frederick Ungar Publishing Co.,
New York
- PICK, M. - J. PICHA - V. VYSKOCIL (1973): Theory of the Earth's
Gravity Field. Elsevier Scientific Pub. Co., Amsterdam
- SAZHINA, N. - N. GRUSHINSKY (1971): Gravity Prospecting. Mir Pub-
lishers. Moscow
- VENING MEINESZ, F. A. (1964): The Earth's Crust and Mantle.
Developments in Solid Earth Geophysics 1. Elsevier
Publishing Co., Amsterdam